

QGIS-lisäosan kehitys Python-ohjelmointikielellä:  
Kaupunkimallintamisen automatisointi

Issakainen Ilari

Opinnäytetyö  
Maanmittaustekniikka  
Insinööri (AMK)

2021

Maanmittaustekniikka  
Insinööri (AMK)

---

<b>Tekijä</b>	Ilari Issakainen	Vuosi	2021
<b>Ohjaaja(t)</b>	Teuvo Heimonen		
<b>Toimeksiantaja</b>			
<b>Työn nimi</b>	QGIS-lisäosan kehitys Python-ohjelmointikielellä: Kaupunkimallintamisen automatisointi		
<b>Sivu- ja liitesivumäärä</b>	52 + 17		

---

Tämän opinnäytetyön tavoitteena oli ohjelmoida avoimen lähdekoodin paikkatieto-ohjelmaan QGIS:n lisäosa, joka mahdollistaisi helpon ja nopean kaupunkimallintamisen kartalle rajatulta alueelta. Kaupunkimallintaminen on viime vuosina yleistynyt huomattavissa määrin, ja kaupunkimallintamista käytetään yhä useammin kaavoituksen ja kaupunkisuunnittelun perustana. Kaupunkimallintaminen on kuitenkin vielä verrattain työlästä ja vaatii paljon käsin tehtävää työtä. Lähtökohta työn tekemiseen oli tarjota maksuton, nopea ja helppo vaihtoehto kaupunkimallintamiseen.

Työ toteutettiin tutustumalla ensin kaupunkimallinnuksen ohjeisiin, Python-ohjelmointioppaisiin ja QGIS-ohjelman dokumentaatioon. Kerätyn tiedon perusteella lisäosaan suunniteltiin käyttöliittymä ja ohjelmoitavat toiminnallisuudet vaiheittain. Toteutuksessa hyödynnettiin QGIS-ohjelman lisäosaa Plugin Builder, jolla lisäosalle luotiin ohjelmoinnin aloituspiste. Lisäosan käyttöliittymä toteutettiin Qt Designer -ohjelmalla ja lisäosan ohjelmointiin käytettiin IDLE-kehitysympäristöä. Avoimuuden ja maksuttomuuden takaamiseksi teknisessä toteutuksessa mallintamisen lähtöaineistoina käytetään Maanmittauslaitoksen avoimia aineistoja, jotka on peilattu Kapsi Internet käyttäjät ry:n kartat.kapsi.fi-palvelimelle. Kirjallisuudessa työssä esitellään peruserätykset lisäosan suunnittelusta ja toteutuksesta ja työn taustalla vaikuttavasta teoreettisesta perustasta.

Työn tuloksena syntyi QGIS-paikkatieto-ohjelman lisäosa Kaupunkimallintaja ja lisäosan asennus- ja käyttöohje. Ohjelmoitu lisäosa vastaa sille asetettuihin tavoitteisiin ja mahdollistaa kaupunkimallintamisen raskaimpien työvaiheiden automatisoinnin QGIS-ohjelmassa.

Avainsanat  
Muita tietoja

3D-malli, kaupunkimalli, ohjelmointi, QGIS  
Työhön liittyy ohjelmoitu QGIS-ohjelman lisäosa

Degree Programme in Land Surveying Engineering  
Bachelor of Engineering

---

<b>Author</b>	Ilari Issakainen	Year	2021
<b>Supervisor</b>	Teuvo Heimonen		
<b>Commissioned by</b>			
<b>Subject of thesis</b>	QGIS Plug-in Development with Python Programming Language: Automation of 3D City Modelling		
<b>Number of pages</b>	52 + 17		

---

The aim of this thesis was to develop a plug-in for QGIS software that could automate the most time consuming and repetitive tasks of large-scale 3D city modelling. In recent years 3D City modelling has gained popularity amongst urban planning professionals yet the methods for 3D city modelling have required significant amount of manual labour. The objective of developing a QGIS plug-in was to offer an easy-to-use, free, and fast option for 3D city modelling.

The thesis was carried out at first studying the national and international norms of large-scale 3D city modelling, reading several Python programming guides and documentation of QGIS software. Functionalities of the plug-in were designed based on the gathered information. The starting point for programming was made with a plug-in called QGIS Plugin Builder, and the graphical user interface was designed with Qt Designer software. Plug-in was programmed with IDLE development environment. The programmed plug-in uses open data provided by National Land Survey of Finland mirrored into kapsi.kartat.fi server as base material for 3D city modelling.

The result of this thesis study is a QGIS plug-in software called Kaupunkimallintaja and its installation and user manual. Kaupunkimallintaja automates the most repetitive tasks of large-scale 3D City Modeling in QGIS software. The thesis covers the key principles of designing and programming plug-in software and the underlying theoretical basis.

Key words                      3D model, 3D city model, programming, QGIS  
Special remarks              The thesis includes QGIS plug-in software.

## SISÄLLYS

1	JOHDANTO .....	7
2	TYÖN LÄHTÖKOHDAT .....	10
2.1	Mallinnusohjeet ja suositukset .....	10
2.1.1	Rakennukset .....	11
2.1.2	Mastot, piiput ja pylväät.....	13
2.1.3	Rakennelma .....	13
2.2	Maanmittauslaitoksen avoimet aineistot .....	14
2.2.1	Yleistä .....	14
2.2.2	Korkeusmalli ja muut korkeutta kuvaavat mallit.....	15
2.2.3	Ortoilmakuva .....	16
2.2.4	Maastotietokanta .....	16
2.2.5	Laserkeilausaineisto.....	17
2.3	QGIS: avoimen lähdekoodin paikkatieto-ohjelmisto.....	20
2.4	Python-ohjelmointikieli .....	20
3	LISÄOSAN SUUNNITTELU .....	22
3.1	Ohjelmistoversion valinta.....	22
3.2	Mallintamisen lähtöaineiston hankinta .....	22
3.3	Lisäosan tuottaman lopputuloksen määrittäminen .....	22
3.4	Tiedostoformaatit .....	24
3.5	Ohjelmoitavat toiminnot .....	24
4	LISÄOSAN TOTEUTUS .....	27
4.1	Aloituspisteen luonti.....	27
4.2	Käyttöliittymä .....	28
4.3	Automatisoinnin algoritmit.....	28
4.3.1	Vaihe 1: Korkeusmallit.....	28
4.3.2	Vaihe 2: Ortoilmakuvat .....	32
4.3.3	Vaihe 3: Maastotietokanta .....	35
4.3.4	Vaihe 4: Pistepilvet.....	36
4.3.5	Vaihe 5: Maastotietokannan käsittely .....	41
4.3.6	Vaihe 6: Lokitiedoston kirjoitus .....	44
5	LISÄOSAN JULKAISU JA LISENSOINNIT.....	45

6 ASENNUS- JA KÄYTTÖOHJE .....	46
7 POHDINTA.....	47
LÄHTEET.....	49
LIITTEET .....	52

## KÄYTETYT MERKIT JA LYHENTEET

CityGML	Kaupunkimallinnuksen tiedonsiirtostandardi
DEM	Digital Elevation Model. Korkeusmalli, joka kuvaa maanpinnan muotoa.
DSM	Digital Surface Model. Pintamalli, joka kuvaa ympäristön ylimmän pinnan eli maanpinnan lisäksi muun muassa puiden latvuston ja rakennusten katot.
DTM	Digital Terrain Model. Maastomalli, joka kuvaa maanpinnan muotoa sisältäen maanpinnan taiteviivat ja mahdollisesti ominaistietoa esimerkiksi rinteiden kaltevuuksista tai maanpeitteestä.
GDAL	Geospatial Data Abstraction Library. Komentorivipohjainen avoimen lähdekoodin paikkatieto-ohjelma vektori- ja rasterimuotoisten aineistojen käsittelyyn
LoDn	Level of Detail. Kaupunkimallinnuksen tarkkuustaso, jossa $n$ on tarkkuustason numero.
OGC	Open Geospatial Consortium. Kansainvälinen paikkatietoalan avoimia tiedonsiirtostandardeja koordinoiva työryhmä
PDAL	Point Data Abstraction Library. Komentorivipohjainen pistepilvien käsittelyyn tarkoitettu ohjelmisto
QGIS	Avoimen lähdekoodin paikkatieto-ohjelmisto
SIG3D	Special Interest Group SIG3D – kansainvälinen kaupunkimallinnuksen ohjeistusta koordinoiva työryhmä

## 1 JOHDANTO

Tämän opinnäytetyön tavoitteena on ohjelmoida Python-ohjelmointikielellä QGIS-paikkatieto-ohjelmaan lisäosa, joka mahdollistaa helpon ja nopean kaupunkimallintamisen kartalle rajatulta alueelta Maanmittauslaitoksen avoimien tietoineistojen pohjalta. Kaupunkimallinnuksella tarkoitetaan kaupunki- tai kuntaympäristön kolmiulotteista mallintamista ja semanttisella kaupunkimallilla selaista mallia, joka sisältää paikkatiedon lisäksi myös ominaisuustiedot sekä tietojen väliset suhteet. Kaupunkimalleja on alettu luoda niin kaupunkisuunnittelun kuin rakentamisen suunnittelun tarpeesta niiden havainnollisuuden vuoksi. Semanttiset kaupunkimallit myös mahdollistavat uudenlaisten kolmiulotteisten paikkatietoihin pohjautuvien analyysien tekemisen, joista kaupunki- ja rakennussuunnittelu hyötyy. (BuildingSMARTFinland 2016.)

Suomessa kaupunkimallintamisen ohjeistusta on koordinoanut BuildingSMARTFinland-työryhmä, joka on julkaissut Antti Yli-Tainion ja Anssi Savisalonsuomenoksen kansainvälisen SIG3D Quality Working Group -työryhmän laatimista kaupunkimallintamisen ohjeista CityGML-formaatissa. Alkuaan SIG3D-työryhmän laatima CityGML-formaatti on kansainvälisen paikkatietoalan avoimia tiedonsiirto-standardeja koordinoivan työryhmän Open Geospatial Consortiumin hyväksymä avoin kaupunkimallinnuksen tiedonsiirtostandardi, jossa on muun muassa kuvattu kaupunkimallinnuksen Level of Detail- eli LoD-tarkkuustasojen sisällöt asteikolla LoD0–4. Ne määrittävät muun muassa sen, kuinka yksityiskohtaisesti rakennusten seinälinjat ja kattogeometriat kuvataan. Vuoden 2020 alussa julkaistiin myös kansallinen julkishallinnon suositus rakennusten ja rakenteiden paikkatietojen mallintamisesta. (SIG3D Quality Working Group 2015, 2; BuildingSMARTFinland 2016; Open Geospatial Consortium 2012, 14–15; Maanmittauslaitos 2020a.)

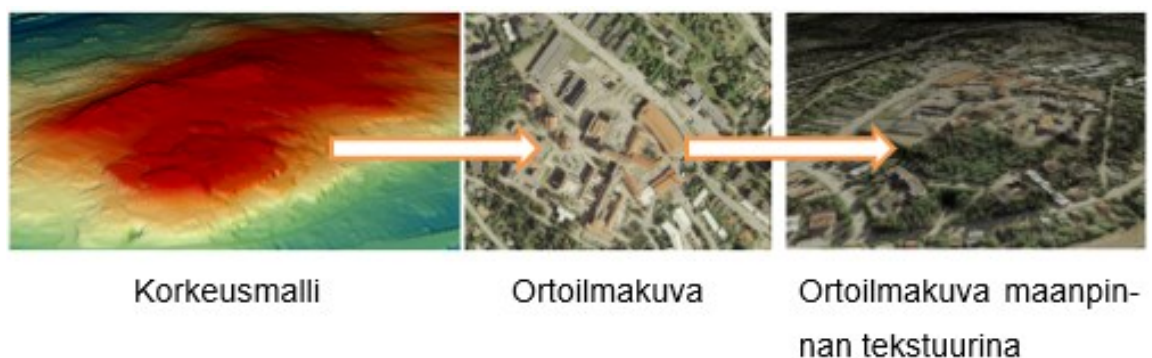
Tavoitteena on ohjelmoida lisäosa tuottamaan semanttisia kaupunkimalleja LoD1-tarkkuustasolla, jossa rakennukset kuvataan yhtenä laatikkona, jossa ulkopinnat ja lattiat on kuvattu pysty- ja vaakasuorina pintoina kuvion 1 mukaisesti (SIG3D Quality Working Group 2015, 5).

### Omakotitalo



Kuvio 1. Kaupunkimallinnuksen tarkkuustasojen LoD0–3 visuaaliset kuvaukset (SIG3D Quality Working Group, 18)

Työ rajataan LoD1-tasolle, koska Maanmittauslaitos on aloittanut uuden tiheimmän laserkeilausaineiston keräämisen myötä myös kolmiulotteisten rakennustietojen keräämisen. Niiden tarkkuustaso tulee olemaan parempi kuin LoD1. (Marttila 2019, 12–13; Maanmittauslaitos 2021a.) Näin vältetään tekemästä päällekkäistä työtä Maanmittauslaitoksen kanssa. Lisäosan ohjelmointi LoD1-tarkkuustasolle antaa kuitenkin oletettavasti hyvää esitietoa siitä, miten tarkemmat LoD-tarkkuustasot tulisi ohjelmassa myöhemmin toteuttaa. Ohjelma pyritään rakentamaan siten, että tulevaisuudessa ohjelma olisi helposti muokattavissa hakemaan myös Maanmittauslaitoksen julkaisemat kolmiulotteiset rakennustiedot. Yksi tapa kaupunkimallintamiseen on luoda kolmiulotteinen paikkatietoympäristö, jossa maanpinta ja maanpinnan tekstuurit kuvataan korkeusmallilla tai maastomallilla, jonka päälle ortoilmakuva on laskostettu kuvion 2 mukaisesti.



Kuvio 2. Ortoilmakuva venytetty korkeusmallin päälle

Rakennukset ja rakenteet sijoitetaan alareunastaan kiinni korkeusmalliin. LoD1-tarkkuustason mallintamisessa rakennuksen tai rakenteen korkeus voidaan antaa esimerkiksi kohteen ominaisuustietona, joka muutetaan CityGML-formaatin mukaiseksi korkeustiedoksi. Maanmittauslaitoksen avoimet paikkatietoaineistot

sisältävät muun muassa ortoilmakuvia, korkeusmalleja, laserkeilausaineistoja ja maastotietokannan aineistoja (Maanmittauslaitos 2021b). Rakennusten ja rakenteiden sijaintitiedot voidaan hankkia Maastotietokannan aineistoista. Rakennusten korkeudet voidaan laskea puolestaan laserkeilausaineiston tai laserkeilausaineistosta johdetun DSM-pintamallin perusteella ja siirtää rakennusten ominaisustietoihin. Siten Maanmittauslaitoksen avoimet aineistot soveltuvat hyvin kaupunkimallintamisen pohjaksi ainakin LoD1-tarkkuustasolla.

Tällä hetkellä Maanmittauslaitoksen avoimien tietoaineistojen latauspalvelusta ladataan yksittäisiä tiedostoja ja aineistolajeja karttalehdittäin, jolloin jo pelkästään lähtöaineiston kerääminen on hidasta ja työlästä. Lähtöaineiston keräämisen työläys korostuu erityisesti sellaisilla alueilla, jotka sijaitsevat useamman karttalehden alueella. Ohjelmoitavalla lisäosalla pyritään vähentämään merkittävästi aineiston keräämiseen ja mallintamiseen käytettävää työaikaa ja siten tekemään mallintamisesta helpompaa ja kustannustehokkaampaa.

Avoimen lähdekoodin QGIS-paikkatieto-ohjelman kehittyminen viime vuosina on saanut useat kaupungit kiinnostumaan sen tarjoamista mahdollisuuksista ja QGIS haastaa jo monet kaupalliset vastineet. (Jokela 2017, 26–27.) Vuoden 2021 keväällä QGIS-ohjelmasta julkaistiin versio 3.18. Siihen on integroitu pistepilvien käsittelyyn tarkoitettu komentoriviohjelma PDAL, joka mahdollistaa pistepilviaineistojen käsittelyn. (QGIS 2021a.) Saman version myötä QGIS tukee myös suoraan pistepilviaineistojen kolmiulotteista visualisointia (QGIS 2021a), josta on hyötyä varsinkin kaupunkimallien laaduntarkastuksessa. QGIS on myös muokattavissa tiettyihin tarkoituksiin Python-ohjelmointikielen avulla, jolla ohjelman toiminnot voidaan automatisoida (QGIS 2021b). Näiden ominaisuuksiensa johdosta QGIS-ohjelma valikoitui työn pohjaksi.

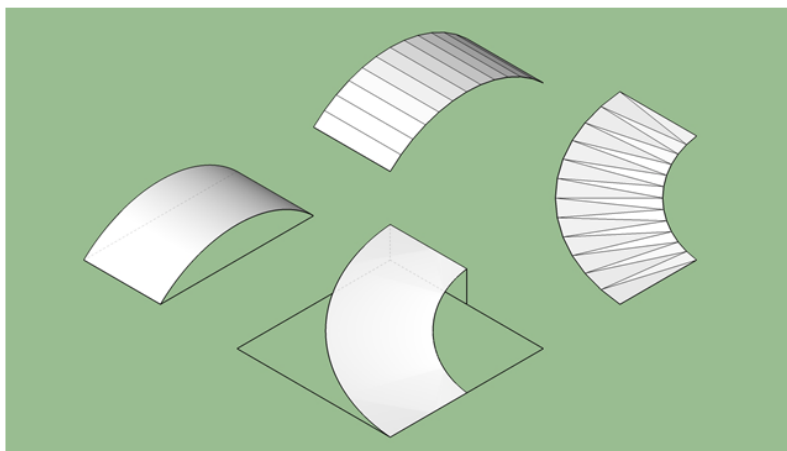
Tässä opinnäytetyössä kerrotaan perustiedot QGIS-lisäosan suunnittelusta, toteutuksesta ja julkaisemisesta. Samalla opinnäytetyö toimii lisäosan teknisenä dokumentaationa. Lisäosan kehitys rajataan QGIS:n Windows-versiolle 3.18 ja siitä ylöspäin. Lisäosan automaattisesti mallinnettavat kohteet rajataan rakennuksiin, pylväisiin johtoihin, mastoihin ja piippuihin LoD1-tarkkuustasolla.

## 2 TYÖN LÄHTÖKOHDAT

### 2.1 Mallinnusohjeet ja suositukset

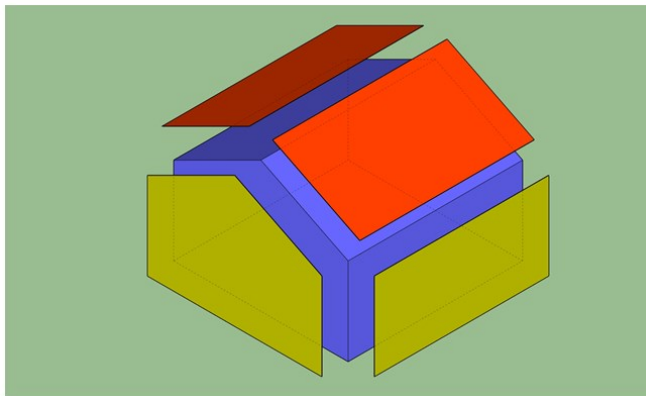
Kaupunkimallintamista koskevissa ohjeissa ja suosituksissa kuvataan, miten kolmiulotteinen malli tulee rakentaa kullakin yksityiskohtaisuuden tasolla. CityGML-tiedonsiirtostandardissa määritellään yksityiskohtaisuuden tasot LoD0-4 ja niihin liittyvät mallinnusohjeet. Suomessa ohjeistusta on tarkennettu julkishallinnon suosituksella 210: Paikkatietojen mallintaminen: rakennukset ja rakennelmat. Siinä kuvataan, mitä kohteita mallinnetaan ja miten kullakin yksityiskohtaisuuden tasolla. Tässä opinnäytetyössä tavoitteena oli ohjelmoida kaupunkimallintamista automatisoiva lisäosa QGIS-ohjelmaan LoD1-tasolla. Tämän vuoksi työssä paneudutaan tarkemmin mallinnusohjeista vain LoD1-tason määrittelyihin. Määrittelyistä keskitytään työn rajauksen mukaisesti vain yleisiin periaatteisiin, rakennuksiin, mastoihin, piippuihin, pylväisiin ja rakennelmiin.

Paikkatietokohde voidaan esittää eri geometrisina muotoina, kuten pisteinä, murtoviivoina, komposiittipintoina, kappaleina tai komposiittikappaleina. Komposiittipinnalla tarkoitetaan pintaa, joka koostuu useasta pienemmästä pinnasta. Esimerkiksi maastossa kaarevat ja kiertyvät pinnat mallinnetaan kolmioista muodostuvina komposiittipintoina Kuvion 3 mukaisesti. Rajaava kaari oikaistaan murtoviivaksi siten, että murtoviivan oikaisusta johtuva sijaintivirhe tasossa on korkeintaan 0,15 metriä. (JHS 210: Liite 5, 3–5.)



Kuvio 3. Kaareva ja kiertyvä kohde mallinnettu komposiittipintoina (JHS 210: Liite 5, 4)

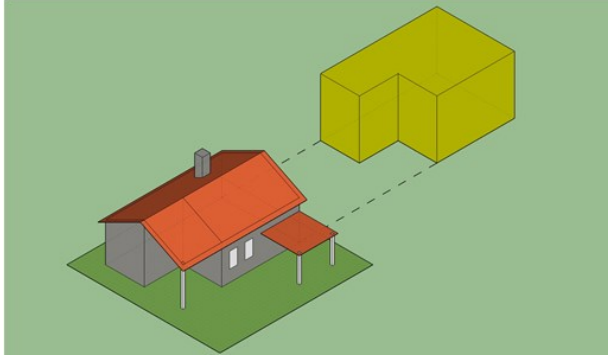
Paikkatietokohde voi olla myös niin sanottu koostekohde, joka koostuu osakohteista. Esimerkiksi rakennus on paikkatietokohde, joka voi koostua eri osakohteista esimerkiksi eri käyttötarkoituksissa olevista tiloista. Osakohteet kuuluvat rakennus-paikkatietokohteeseen, mutta osakohteilla voi olla myös omia toisistaan poikkeavia ominaisuustietoja. Paikkatietokohteella voi olla myös useita eri geometrioita. Esimerkiksi rakennukset mallinnetaan sulkeutuvina kappaleina, jotka muodostuvat useasta sulkeutuvasta pinnasta Kuviossa 4 esitetyllä tavalla. Pinnat puolestaan koostuvat sulkeutuvista murtoviivoista. Semanttisten kaupunkimallien tapauksessa pinnoille tallennetaan ominaisuustiedoksi kyseessä oleva pinta, kuten katto, seinä tai lattia. Myös kohteen avoimet sivut mallinnetaan sulkeutuvina pintoina, jolle annetaan ominaisuustiedoiksi *closure\_surface*. (JHS 210, 2–3; JHS210: Liite 5, 3–5.)



Kuvio 4. Sulkeutuvan kappaleen muodostuminen sulkeutuvien murtoviivojen muodostamien pintojen perusteella (JHS210: Liite 5, 5)

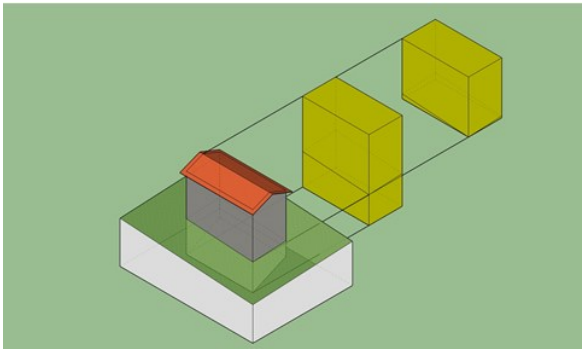
### 2.1.1 Rakennukset

LoD1-yksityiskohtaisuudentasolla rakennukset mallinnetaan laatikkomaisesti pystysuorina ja vaakasuorinapintoina. Sivupinnat kuvaavat rakennuksen ulointa ulkoseinäpintaa. LoD1-geometriaan ei sisälly rakennuksen varustekohteita kuten katoksia (Kuvio 5). (JHS210: Liite 5, 10, 12.)



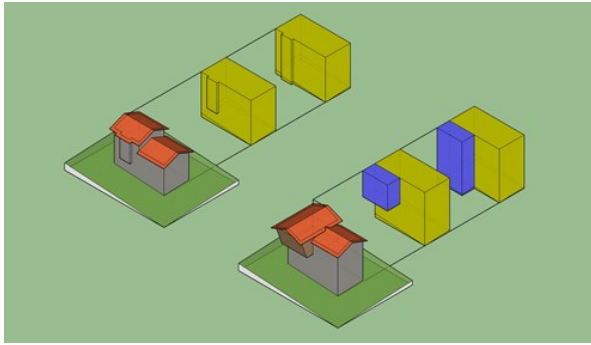
Kuvio 5. Esimerkki rakennuksen mallintamisesta LoD1-yksityiskohtaisuustasolla (JHS210: Liite 5, 12)

Rakennusten alapinnat mallinnetaan vaakatasoisina pintoina ensisijaisesti rakennuksen alimmalle korkeustasolle tai vaihtoehtoisesti alapinta mallinnetaan maanpinnan leikkausviivan alimpaan korkeuteen (Kuvio 6). Maanpinnan leikkausviiva voidaan tallentaa myös ominaisuustiedoiksi nimellä *Terrain Intersection Line*. (JHS210: Liite 5, 10.)



Kuvio 6. Rakennuksen alapinnan vaihtoehtoiset mallintamistavat (JHS210: Liite 5, 13)

Jos alapinta sijaitsee maanpinnan yläpuolella, kuten erkkereissä, alapinta voidaan mallintaa joko todelliseen alimpaan korkeuteen tai maanpinnan leikkausviivan alimpaan korkeuteen (Kuvio 7). Yläpinnat mallinnetaan puolestaan kohteen korkeimpaan kohtaan. (JHS210: Liite 5, 10.)



Kuvio 7. Rakennuksen erkereiden vaihtoehtoiset mallintamistavat (JHS210: Liite 5, 14)

### 2.1.2 Mastot, piiput ja pylvääät

Mastot, piiput ja pylvääät mallinnetaan kohteen ulkopintojen mukaisesti pystysuorina pintoina. Korkeus määräytyy kohteen korkeimman kohdan mukaan. Alareuna voidaan mallintaa kahdella vaihtoehtoisella tavalla, joko kohteen todelliseen alimpaan korkeuteen tai kohteen ja maapinnan leikkausviivan alimpaan korkeuteen. (JHS210: Liite 5, 39–43.)

### 2.1.3 Rakennelma

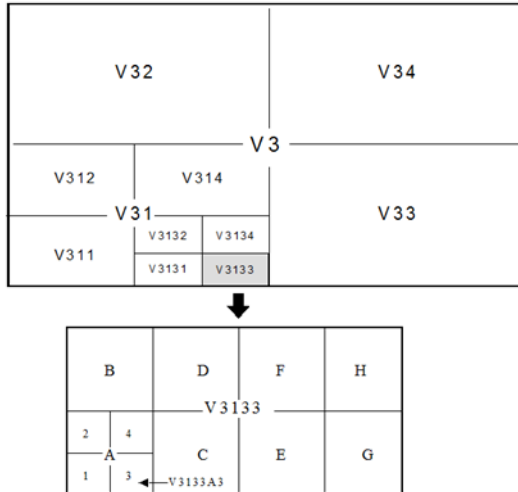
Rakennelmista kolmiulotteisesti mallinnetaan vain mainosrakennelmat, ilmaradat, nosturit, hyppyrimäet, huvipuistolaitteet, muistomerkit, patsaat, taideteokset, suihkulähteet, joukkoliikenteen pysäkkikatokset, katokset, kodat, laavut, kammit, keittokatokset ja maakellarit. Aallonmurtajat mallinnetaan, jos niiden leveys on vähintään viisi metriä. Rautatien asemalaiturit ja rauniot mallinnetaan vain, jos ne muodostavat selkeän sulkeutuvan kappaleen. Yläreuna määräytyy kohteen todellisen korkeimman kohdan mukaisesti. Alareuna voidaan tallentaa joko kohteen todelliseen alimpaan korkeuteen tai kohteen ja maanpinnan leikkausviivan alimpaan korkeuteen. (JHS210: Liite 5, 56–58.)

## 2.2 Maanmittauslaitoksen avoimet aineistot

### 2.2.1 Yleistä

Maanmittauslaitos on julkaissut vuodesta 2012 osan tuottamistaan paikkatietoaineistoista kaikille avoimina aineistoina. Aineistot julkaistiin ensin vuosina 2012–2015 Maanmittauslaitoksen avoimien aineistojen lisenssi versio 1.0:n alaisina ja vuodesta 2015 alkaen aineistot on julkaistu CC Nimeä 4.0 -lisenssin alla. Yhteistä molemmille lisensseille on se, että käyttäjä saa jakaa, levittää ja muokata aineistoja vapaasti mainitsemalla kuitenkin alkuperäisen aineiston tuottajan nimen omissa sovelluksissaan tai tuotteissaan. Avoimien aineistojen lisenssiversio 1.0:n alaisiin aineistoihin sovelletaan hankinta-ajankohdan lisenssiä. Maanmittauslaitoksen avoimet aineistot on ladattavissa osoitteesta <https://tiedostopalvelu.maanmittauslaitos.fi/tp/kartta>. Kaikki työssä tarvittavat aineistot, karttalehtijako, korkeusmallit, ortoilmakuvat, laserkeilausaineisto ja maastotietokanta, kuuluvat avoimiin aineistoihin. Aineistot ovat saatavilla ETRS-TM35FIN-tasokoordinaattijärjestelmässä. (Maanmittauslaitos 2021d.)

Maanmittauslaitos on julkaissut aineistot JHS 197 mukaisessa karttalehtijaossa, jossa 1:200 000 mittakaavassa olevalle karttalehdelle on annettu yksiselitteinen kirjaimesta ja numerosta koostuva tunnus. Kirjain kuvaa karttalehden sijaintia pohjois-eteläsuunnassa ja numero länsi-itäsuunnassa. Kirjaimet aloitetaan etelästä kirjaimesta K kasvaen aakkosjärjestyksessä pohjoiseen. Poikkeuksena on O, jota ei käytetä. Numerot aloitetaan lännestä numerosta 2 kasvaen itään. Suuremmassa mittakaavassa oleville aineistoille saadaan yksiselitteinen karttalehtitunnus jakamalla edellinen karttalehti neljään tai kahdeksaan osaan kuvion 8 mukaisesti. Karttalehtien puolikkaat voidaan vielä erottaa toisistaan lisäämällä karttalehtitunnuksen eteen kirjaimet L tai R, joista L tarkoittaa vasemmanpuoleista ja R oikeanpuoleista. Eri mittakaavojen karttalehtijako on saatavilla Shapefile- ja MapInfo-formaateissa. (JHS 197 1.1 / 9.12.2016; Maanmittauslaitos 2021c.)



Kuvio 8. Karttalehtijaon peruseriaate (JHS197 1.1 / 9.12.2016)

### 2.2.2 Korkeusmalli ja muut korkeutta kuvaavat mallit

Tässä yhteydessä käytetään Maanmittauslaitoksen kansallisen maastotietokannan korkeusmallien laatukäsikirjan mukaisia määritelmiä, sillä lisäosa käyttää Maanmittauslaitoksen tuottamia aineistoja. Korkeusmallilla DEM tarkoitetaan maanpinnan korkeutta kuvaavaa digitaalista mallia, joka on joko tasavälinen pistehila tai epäsäännöllinen kolmioverkko TIN (Triangulated Irregular Network), joka koostuu x-, y- ja z-koordinaateiltaan tunnettujen pisteiden joukosta ja pisteiden välisistä pinnoista. Maanpinnalla tarkoitetaan paljasta maanpintaa, johon eivät kuulu kasvillisuus eikä maanpinnalla olevat siirtolohkareet tai muut vastaavat irtonaiset kohteet. Maanpintaan ei myöskään kuulu vedenalainen maanpinta, vaan vesialueet on esitetty aineiston keräyksen ajankohdan mukaisena keskivedenpintana. (Sirkiä ym. 2017, 6–9.)

DTM-maastomallilla tarkoitetaan puolestaan maanpinnan korkeutta kuvaavaa digitaalista mallia, joka sisältää myös ominaisuustietoa maanpinnasta, kuten kaltevuuksia ja viettosuuntia. DSM:llä tarkoitetaan ympäristön ylimmän pinnan korkeutta kuvaavaa mallia, joka sisältää kasvillisuutta, puuston latvustoja ja myös ihmisen tekemien rakenteiden korkeuksia, kuten rakennusten kattoja. Maanmittauslaitoksen avoimissa aineistoissa on tarjolla laserkeilausaineistosta johdetut korkeusmallit rasterimuotoisena kahden ja kymmenen metrin pistehiloina GeoTIFF- ja Ascii Grid -formaateissa N2000-korkeusjärjestelmän mukaisina korkeuksina. (Maanmittauslaitos 2021b; Sirkiä ym. 2017, 6–9.)

### 2.2.3 Ortoilmakuva

Ortoilmakuvalla tarkoitetaan ilmakuvaa, joka on oikaistu alkuperäisestä perspektiivikuvasta karttaprojektioon esimerkiksi korkeus-, maasto- tai pintamallin avulla. Ortoilmakuva vastaa geometrialtaan karttaa. Ortoilmakuvasta on korjattu alkuperäisessä kuvassa esiintyvä mittakaavan vaihtelu, joka aiheutuu kohteiden sijaitessa eri etäisyydellä kuvanotto paikasta. Ortoilmakuva koostuu tyypillisesti useasta ilmakuvasta, josta käytetään myös termiä *ortokuvamosaiikki*. (Haggrén 2002 & Honkavaara 2005, 1–5.)

Ortoilmakuvan oikaisuun käytetyt korkeus- tai maastomallit sisältävät vain maanpinnan korkeustietoja. Ne aiheuttavat siten lopulliseen ortoilmakuvaan näkyvää virhettä siten, että maanpintaa ylempänä olevat rakenteet kuvautuvat alkuperäisen kuvan mukaisessa perspektiivissä. Kyseinen virhe voidaan poistaa käyttämällä orto-oikaisuun korkeusmallin tai maastomallin sijasta pintamallia, joka sisältää ylimmän pinnan korkeudet. Tällöin puhutaan tosiortokuvasta. (Haggrén 2002 & Honkavaara 2005, 1–5, 10.) Maanmittauslaitoksen tuottamat ortoilmakuvat on saatavilla avoimien aineistojen tiedostopalvelusta JPEG2000- eli .jp2-formaatissa (Maanmittauslaitos 2021b).

### 2.2.4 Maastotietokanta

Maastotietokanta on koko Suomen maastoa, rakenteita, liikenneverkkoa ja maankäyttöä kuvaava vektorimuotoinen aineisto (Maanmittauslaitos 2020b). Aineisto on saatavilla muun muassa Geopackage-, MapInfo- ja Shapefile-formaateissa. Shapefile-formaatissa aineisto on jaoteltu ja nimetty tiedostoihin karttalehdittäin ja teemoittain kunkin geometriatyypin mukaan erikseen taulukossa 1 esitetyllä tavalla (Maanmittauslaitos 2019).

Taulukko 1. Maastotietokannan tiedostojen nimeäminen Shapefile-formaatissa

Lyhenne (x)	Geometria
v	viivat
s	symbolipisteet
t	tekstit
p	polygonit (monikulmiot)
Lyhenne (t)	Teema
l	Liikenneverkot
j	Johtoyhteydet
m	Maasto/1
n	Maasto/2
r	Rakennukset
k	Korkeussuhteet
s	Suojelukohteet
e	Eryityskäyttöalueet
h	Hallinnollinen jaotus
u	Taajaan rakennettu alue

t\_karttalehtitunnus\_x

Taulukon 1 esimerkissä t on aineiston teeman lyhenne, keskellä oleva kirjainsarja karttalehtitunnus ja x aineiston geometrian lyhenne. Esimerkiksi tiedosto r\_L4434R\_p.shp sisältää maastotietokannan rakennukset monikulmioina L4434R-karttalehden alueelta. Maaston kohdetyypit ilmaistaan puolestaan tiedoston attribuutteina (Maanmittauslaitos 2019).

### 2.2.5 Laserkeilausaineisto

Laserkeilauksella tarkoitetaan valon kulku aikaan tai vaihe-eroon perustuvaa kolmiulotteista mittausmenetelmää, jossa lopputulotteeksi saadaan pistepilvi, useiden x-, y-, z-koordinaateiltaan tunnettujen pisteiden joukko. Valon kulku aikaan perustuvat keilaimet mittaavat keilaimen lähettämän laserpulssin paluuajan kohdeesta, jonka perusteella voidaan laskea pisteen etäisyys keilaimesta. Vaiheeroon perustuva laserkeilain eroaa pulssilaserkeilaimesta siten, että keilain lähettää kohteeseen jatkuvaa signaalia useammalla eri kantoaallonpituudella, josta lähetetyn ja palanneen signaalin välinen vaihe-ero mitataan etäisyyden laske- miseksi. Kolmiulotteisen pistepilven muodostamiseksi etäisyyden lisäksi täytyy tietää pisteiden ulkoinen orientointi eli etäisyyden mittauksen suunta. Kolmijaloilta

operoitavien laserkeilaimien suunnat saadaan samalla periaatteella kuin takymetrimittauksessa koordinaateiltaan tunnettujen liitospisteiden avulla, jotka sijaitsevat keilausalueella. Laserkeilain voidaan sijoittaa myös liikkuvaan alustaan kuten lentokoneeseen, helikopteriin tai ajoneuvoon. Tällöin koordinaattien ratkaisemiseksi tarvitaan etäisyyden mittauksen lisäksi tietää mittauspaiikka ja keilaimen asento. Mittauspaikka voidaan ratkaista esimerkiksi mobiilikeilainjärjestelmään liitetyn GNSS-paikantimen avulla ja asento inertiamittausjärjestelmän perusteella. (Laurila 2012, 269–273; Kukko 2005, 7.)

Maanmittauslaitoksen tuottama aineisto on ilmalaserkeilausaineisto, jota on saatavilla kahdella eri pistetiheydellä. Vuosina 2008–2019 kerätty aineisto on saatavilla avoimena aineistona pistetiheydellä 0,5 pistettä / m<sup>2</sup>. Vuodesta 2020 kerätty aineisto on saatavilla pistetiheydellä 5 pistettä / m<sup>2</sup>, aineiston käyttöön tarvitsee kuitenkin hankkia maksullinen käyttöluupa. Vuodesta 2020 kerätty aineisto on kuitenkin saatavilla avoimena aineistona harvennettuna pistetiheyteen 0,5 pistettä / m<sup>2</sup>. (Maanmittauslaitos 2020c.)

Laserkeilausaineisto on saatavilla LAZ-formaatissa luokiteltuna aineistona. Luokittelulla tarkoitetaan pisteille annettua luokkaa, joka kertoo, millä pinnalla tai kohteella piste sijaitsee. Maanmittauslaitoksen aineistossa on yhdistelty LAS 1.2-määrittelyn mukaista luokittelua ja omaa luokittelua. Taulukossa 2 on esitetty Maanmittauslaitoksen laserkeilausaineiston ja LAS1.2 -määrittelyn mukaiset luokat. LAS 1.2 -määrittelyn mukaisiin luokkiin on lisätty tunnus LAS 1.2. (Maanmittauslaitos 2020c.)

Taulukko 2. LAS 1.2 ja Maanmittauslaitoksen pistepilviluokat (Maanmittauslaitos 2020c; ASPRAS 2008, 8)

Luokka	Selite
0	Luotu, mutta luokittelematon (Created, never classified) LAS 1.2
1	Luokittelematon (Unclassified) LAS 1.2
2	Maanpinta (Ground) LAS 1.2
3	Aluskasvillisuus (Low Vegetation) LAS 1.2
4	Keskikorkea kasvillisuus (Medium Vegetation) LAS 1.2
5	Korkea kasvillisuus (High Vegetation) LAS 1.2
6	Rakennus (Building) LAS 1.2
7	Matalat virhepisteet (Low points) LAS 1.2
8	Mallin avainpisteet (Model Key-Points) LAS 1.2
9	Vesi (Water) LAS 1.2
10	Varattu ASPRS määrittelylle (Reserved for ASPRS definition)
11	Varattu ASPRS määrittelylle (Reserved for ASPRS definition)
12	Kahdella lentolinjalla sijaitsevat päällekkäiset pisteet (Overlap points) LAS 1.2
13	Varattu ASPRS määrittelylle (Reserved for ASPRS definition)
14	Varattu ASPRS määrittelylle (Reserved for ASPRS definition)
15	Pilvet tai lentävät kohteet (Air points)
16	Yksittäiset pisteet ilmassa ja maanpinnan alla (Isolated)
17	Keilainhäiriöistä johtuvat pisteet (Fault points)

Maanmittauslaitos tarjoaa aineistoaan automaattisesti ja stereomalliluokiteltuna. Stereomalliluokiteltu aineisto on automaattiluokituksen jälkeen tarkastettua ja luokitukseltaan korjattua aineistoa. (Maanmittauslaitos 2020c.)

### 2.3 QGIS: avoimen lähdekoodin paikkatieto-ohjelmisto

QGIS on avoimen lähdekoodin graafinen paikkatieto-ohjelmisto, joka on julkaistu GNU General Public License (GPL) -lisenssin alla. Lisenssi mahdollistaa lähdekoodin vapaan tutkimisen ja muokkaamisen, minkä johdosta ohjelma on helposti muokattavissa omiin käyttötarkoituksiin lisäosien avulla. Ohjelma tarjoaa myös valmiin lisäosakirjaston, josta käyttäjän on helppo ladata ja asentaa tarvitsemansa lisäosat. Lisäosat voidaan ohjelmoida joko C++- tai Python-ohjelmointikielillä. Ohjelmaan on myös mahdollista ohjelmoida pienempiä ohjelmia, niin sanottuja skriptejä, jotka esimerkiksi automatisoivat ohjelman toimintoja. Myös yksittäisiä ohjelman komentoja voidaan suorittaa komentorivipohjaisesti Python-konsolin avulla. (QGIS 2021b, 1–3; QGIS 2021c, 3, 1349–1352.)

QGIS on saatavilla Unix-, Windows- ja macOS-järjestelmille (QGIS 2021c, 3). QGIS-ohjelma tarjoaa monipuoliset geoprosessointityökalut paikkatietoanalyysien tekemiseen. Osa toiminnoista on QGIS-ohjelman omaa tuotantoa, mutta ohjelmaan on lisätty myös muiden avoimen lähdekoodin ohjelmien, kuten GDALn, SAGAn ja GrassGISn, tarjoamia prosessointialgoritmeja (QGIS 2021d). Versiosta 3.18 lähtien QGIS ohjelmaan on integroitu komentorivipohjainen pistepilviaineistojen käsittelyyn tarkoitettu PDAL-ohjelma (QGIS 2021a). PDAL-integraation myötä QGIS tukee myös pistepilviaineistojen kolmiulotteista visualisointia (QGIS 2021a).

### 2.4 Python-ohjelmointikieli

Ohjelmointi voidaan ajatella tietokoneelle annettavina käskyinä, jotka suorittavat jonkin ennalta määrätyn, ohjelmoidun tehtävän. Tietokoneen prosessoreilla on jokaisella oma niin sanottu konekieli, jota se ymmärtää. Konekieli koostuu binäärisistä biteistä eli ykkösistä ja nolista, ja siten se on ihmisille yleensä vaikealukuista. Ohjelmoinnin helpottamiseksi on kehitetty erilaisia helpompilukuisia kieliä, jotka voidaan kääntää tai tulkata konekielen ymmärtämään muotoon. (Zelle 2004, 6–7.)

Ohjelmointikielien jaotellaan pääasiassa käännettäviin ja tulkattaviin kieliin. Käännettävällä kielellä tarkoitetaan kieltä, joka käännetään konekieliseen muotoon ennen ohjelman suorittamista vain kerran. Kerran käännettyä ohjelmaa ei tarvitse enää kääntää, vaan se on valmis suoritettavaksi heti. Tulkattava kieli puolestaan muuttaa ohjelmointikielen rivit konekieliseen muotoon rivi kerrallaan ohjelman suorittamisen aikana. Tulkattavien kielten suorittaminen on siten hitaampaa kuin käännettävän kielen. Toisaalta tulkattavan kielen etuja on sen kehitystyön aikainen nopeampi testaaminen, koska käännettävien kielten kääntäminen on yleensä hidasta. (Zelle 2004, 7–9.)

Python on tulkattava ohjelmointikieli (Zelle 2004, 9), jota on mahdollista laajentaa C- ja C++-kielillä (Python 2021a). Vaihtoehtoisesti Pythonia voidaan käyttää niin sanottuna skriptikielenä C- ja C++-kielillä ohjelmoiduissa ohjelmissa, kuten QGIS:ssä. (QGIS 2021b, 1–3.) Graafiset käyttöliittymät voidaan toteuttaa esimerkiksi C++:lla ohjelmoidulla Qt kirjastolla, jolla myös QGIS:n graafinen käyttöliittymä on toteutettu (QGIS 2021b, 6). Kesäkuussa 2021 Python-ohjelmointikielystä julkaistiin versio 3.9.6 (Python 2021b).

### 3 LISÄOSAN SUUNNITTELU

#### 3.1 Ohjelmistoversion valinta

Lisäosan kehitys rajataan vain Windows-käyttöjärjestelmälle QGIS:n versioon 3.18 ja siitä ylöspäin.

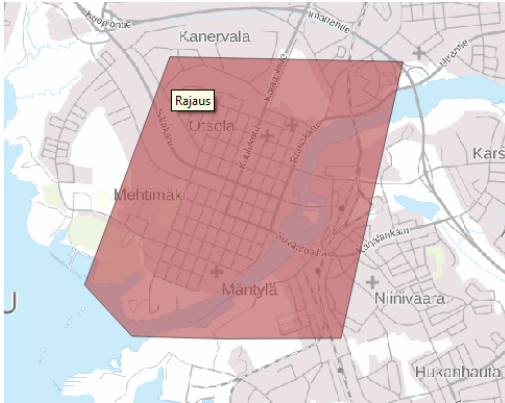
#### 3.2 Mallintamisen lähtöaineiston hankinta

Mallintamisen lähtöaineistona käytetään Maanmittauslaitoksen avoimia aineistoja. Maanmittauslaitos tarjoaa avoimet aineistot hakemistokäyttöliittymänä mutta maksullisena palveluna (Maanmittauslaitos 2021b). Lisäosan suunnittelussa pyrittiin maksuttomuuteen, joten Maanmittauslaitoksen toteuttama palvelu ei tullut kuitenkaan kyseeseen. Ratkaisuksi löytyi Kapsi internet-käyttäjät ry:n ylläpitämä tiedostopalvelin kapsi.kartat.fi. Se peilaa Maanmittauslaitoksen avoimet aineistot omalle ilmaiselle, kaikille avoimelle palvelimelleen kerran vuorokaudessa. (Kapsi Internet-käyttäjät ry 2015.) Tiedostot on saatavilla hakemistokäyttöliittymänä, jossa aineistot on luokiteltu kansioihin aineistolajeittain, aineiston ke-ruuvuosittain, karttalehtitunnuksittain ja tiedostoformaattien mukaan.

Kartat.kapsi.fi-palvelu on toteutettu harrastajavoimin, eikä se siten takaa palvelun olevan aina käytettävissä (Kapsi Internet-käyttäjät ry 2015). Tämä on riski lisäosan toteutuksen kannalta, mutta ohjelman ilmaisuus on tärkeämpi kriteeri.

#### 3.3 Lisäosan tuottaman lopputuloksen määrittäminen

Lisäosan tekemänä lopputuotteena on käyttäjän kartalle rajaaman alueen sisältä ladatut aineistot, joita 3D-kaupunkimallin tekemiseksi tarvitaan. Saman aineistolajin eri karttalehdiltä haetut aineistot tulisi olla yhdistettynä samaan tiedostoon ja rajattuna käyttäjän antaman aluerajauksen mukaisiksi. Kuviossa 9 esitetään esimerkki aluerajauksesta. Kapsin palvelimelta haettavat aineistolajit ovat karttalehtijako, maastotietokanta, korkeusmalli, ortoilmakuva ja laserkeilausaineisto.



Kuvio 9. Esimerkki luotavan kaupunkimallin aluerajauksesta. Sisältää Maanmittauslaitoksen avoimia aineistoja 9/2021.

Maastotietokannan osalta mallinnettavat kohteet rajataan rakennuksiin, mastoihin, piippuihin ja pylväisiin. Näiden kohteiden osalta korkeudet lasketaan laserkeilausaineistosta johdetun pintamallin perusteella. Laserkeilausaineisto jätetään lopulliseen aineistoon myös aineiston visualisoimiseksi ja oikeellisuuden tarkastamiseksi. Laserkeilausaineisto tulisi myös värjätä aineiston visualisoinnin parantamiseksi. Maanmittauslaitoksen avoimien aineistojen lisenssiehtojen täyttämiseksi lisäosan täytyy tehdä myös lokitiedosto, johon kerätään tiedot aineistolaiteittain mitä karttalehtiä ja tiedostoja mallin tekemiseksi on tarvittu.

Lopputuloksena syntyy mallintamisen vaihe LoD1 tarkkuustasolla QGIS-ohjelmaan, josta käyttäjä pystyy tekemään aineistoon tarkastuksia ja myös korjaamaan automaatiosta mahdollisesti syntyneitä virheitä sekä lisäämään malliin omia aineistojaan. Käyttäjän harkittavaksi jää myös lopullisen julkaisualustan valinta ja kääntäminen Internet-julkaistavaan muotoon. Kuviossa 10 on esitetty luodun mallin kolmiulotteinen kuvaus.



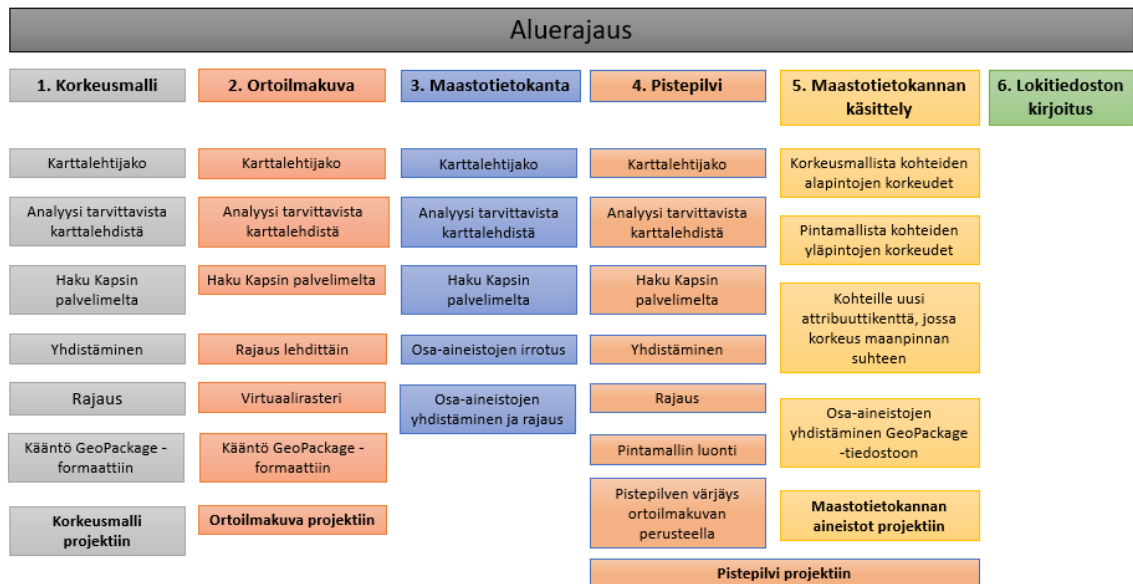
Kuvio 10. Lisäosalla tuotetun kaupunkimallin visuaalinen kuvaus. Sisältää Maanmittauslaitoksen avoimia aineistoja 9/2021.

### 3.4 Tiedostoformaattit

Maastotietokannassa, ortoilmakuvissa ja korkeusmalleissa käytetään GeoPackage-tietokantaformaattia. Maastotietokannan osa-aineistot yhdistetään samaan GeoPackage-tietokantaan. Pistepilvien osalta käytetään LAZ-formaattia.

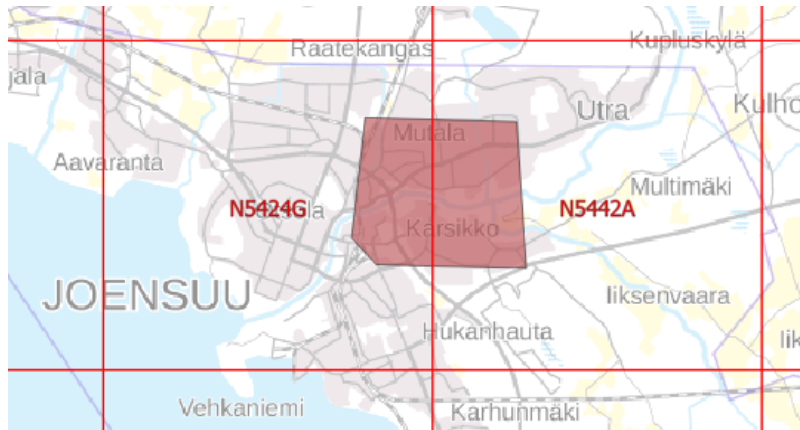
### 3.5 Ohjelmoitavat toiminnot

Ohjelmoitavat toiminnot jäsennettiin pienemmiksi kokonaisuuksiksi miettimällä, mitä kaikkia vaiheita kaupunkimallin tekemiseksi tarvitaan QGIS-ohjelmalla. Ohjelmoitavat vaiheet jaetaan kuuteen eri päävaiheeseen ja jokaisen vaiheen alle sisältyviin alivaiheisiin (Kuvio 11).



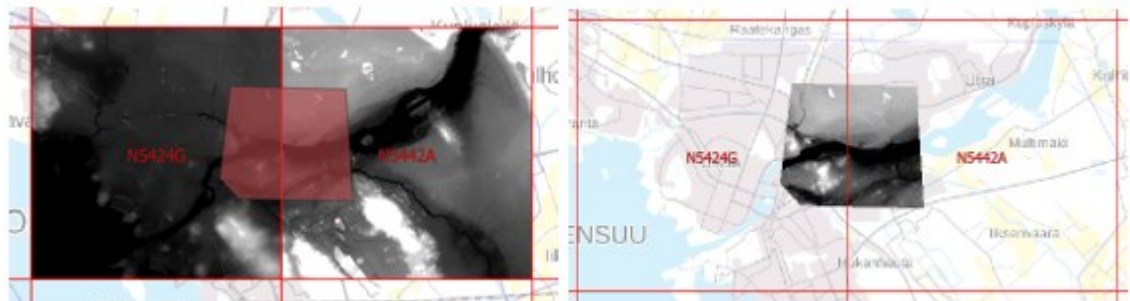
Kuvio 11. Lisäosaan ohjelmoitavien toimintojen vaiheet

Kuvion 11 päävaiheiden kohtiin 1–4 sisältyy analyysi tarvittavista karttalehdistä kussakin aineistolajissa. Ohjelman tulisi selvittää aineistolajeittain, minkä karttalehtien alueella annettu aluerajaus sijaitsee. Kuviossa 12 esitetään utm10 karttalehtijako ja esimerkki aluerajauksesta Maanmittauslaitoksen taustakartta-aineiston kanssa.



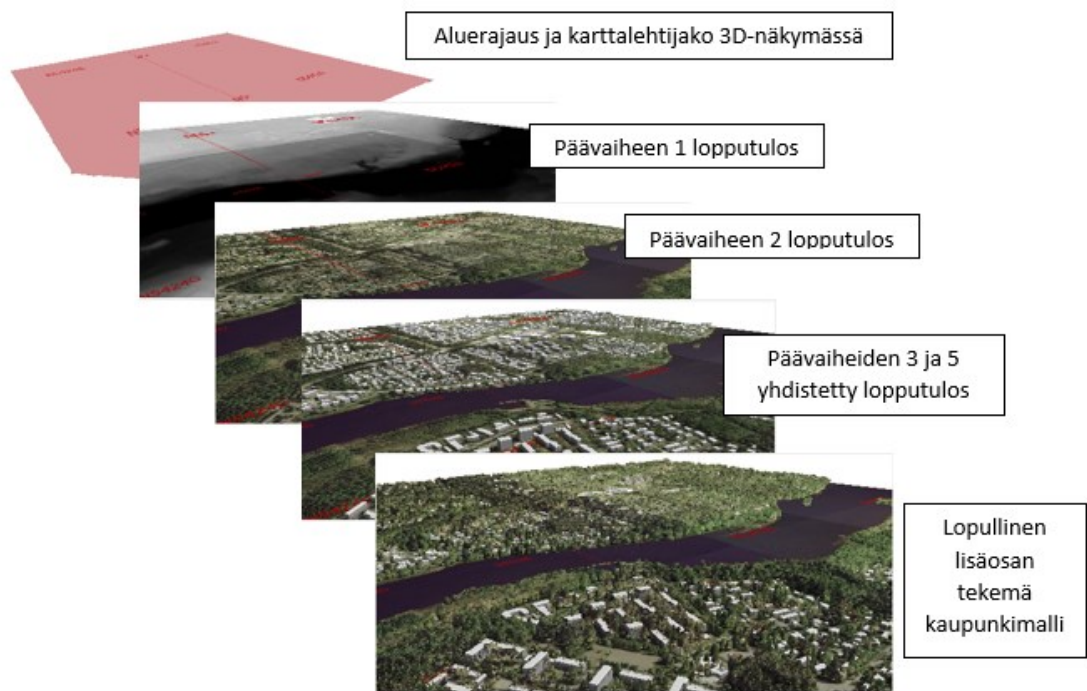
Kuvio 12. Kaupunkimallin aluerajaus ja utm10-karttalehtijako. Sisältää Maanmittauslaitoksen avoimia aineistoja 9/2021.

Kapsin palvelimella utm10-karttalehtijakoa käytetään esimerkiksi korkeusmallien nimeämiseen. Kuvion 12 tapauksessa korkeusmalleista haettaisiin karttalehdet N5424G ja N5442A. Päävaiheisiin 1–4 sisältyy myös aineistojen yhdistäminen ja rajaus annetun aluerajauksen mukaiseksi. Kuviossa 13 on kuvattu haettujen aineistojen yhdistäminen ja rajaus.



Kuvio 13. Kapsin palvelimelta haettujen korkeusmallien yhdistäminen ja rajaus. Sisältää Maanmittauslaitoksen avoimia aineistoja 9/2021.

Kuviossa 13 vasemmalla on päävaiheessa 1 Kapsin palvelimelta haetut korkeusmallit N5424G ja N5442A, joita ei ole vielä rajattu aluerajauksen mukaisesti eikä yhdistetty toisiinsa. Kuviossa 13 oikealla on korkeusmallien yhdistämisen ja rajaamisen tulos. Kuviossa 14 puolestaan esitetään mallintamisen kulku aluerajauksesta lopulliseksi malliksi päävaiheiden lopputulosten kautta.

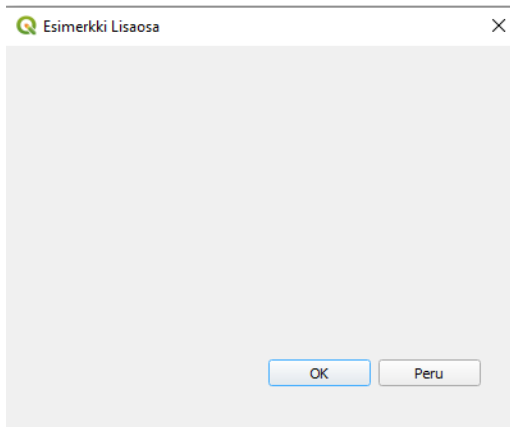


Kuvio 14. Mallintamisen kulku päävaiheiden lopputulosten kautta

## 4 LISÄOSAN TOTEUTUS

### 4.1 Aloituspisteen luonti

Lisäosien rakentamiseksi GeoApt LLC on tehnyt QGIS Plugin Builder -nimisen lisäosan, jolla omalle lisäosalleen voi luoda aloituspisteen. Kaupunkimallintajan toteutuksessa käytetään kyseistä lisäosaa ja nojataan Ujaval Gandhin tekemään verkkotutoriaaliin kyseisen lisäohjelman käyttämisestä. Kyseinen verkkotutoriaali on julkaistu osoitteessa [https://www.qgistutorials.com/en/docs/3/building\\_a\\_python\\_plugin.html](https://www.qgistutorials.com/en/docs/3/building_a_python_plugin.html). Lisäosa rakentaa valmiiksi uuden lisäosan valikkojen sijoittelut ja tyhjän graafisen käyttöliittymän (Kuvio 15). Tässä vaiheessa uudelle lisäosalle annettiin myös nimi Kaupunkimallintaja.



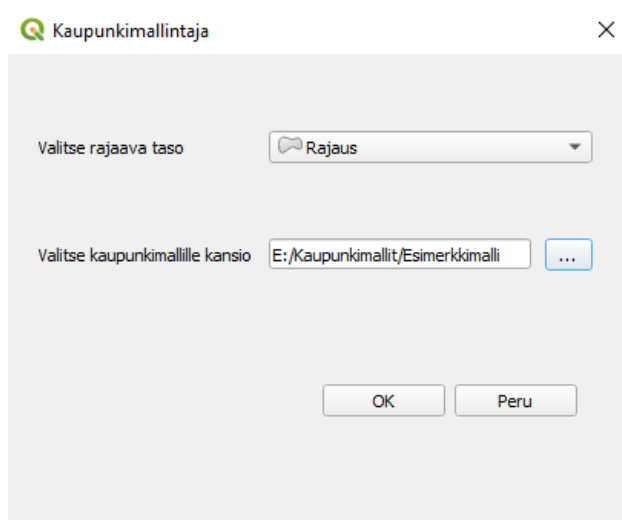
Kuvio 15. QGIS Plugin Builderilla luotu esimerkki lähtötilanteesta

Plugin Builder tuottaa kansion, jossa ovat kaikki lisäosan tiedostot. Muutoksia tehtiin vain lisäosan nimeä kantavaan `Kaupunki_mallintaja.py`-tiedostoon, `Kaupunki_mallintaja_dialog_base.ui`-tiedostoon ja `metadata.txt`-tiedostoon. `Ui`-tiedostoon luodaan käyttöliittymä Qt designer -ohjelmalla, `py`-tiedostoon varsinaiset ohjelman suorittamat toiminnot ja `metadata.txt`-tiedostoon luodaan lisäosan kuvaus, joka näkyy käyttäjälle lisäosien asennusvalikossa.

Toteutuksen dokumentoinnissa keskitytään vain ohjelmoitujen toimintojen kuvauksiin ja perusteluihin sekä algoritmien asetusten vaikutukseen. Toiminnot esitetään lisäosaan suunniteltujen päävaiheiden mukaan jaoteltuna. Koko `Kaupunki_mallintaja.py`-tiedoston lähdekoodi on tämän työn liitteessä 1. Toiminnot ohjelmoitiin käyttäen Pythonin IDLE-kehitysympäristöä.

## 4.2 Käyttöliittymä

Käyttöliittymä toteutettiin Qt designer -ohjelmalla Plug-in Builder -lisäosan tuottaman lähtötilanteen pohjalta (Kuvio 16). Käyttöliittymään toteutettiin alasvetovalikko, johon täytetään kaikki QGIS-projektissa olevat monikulmiotasot, joista valittu taso toimii rajaavana alueena kaupunkimallille. Käyttöliittymään toteutettiin lisäksi valikko, josta kaupunkimallille valitaan kansio.



Kuvio 16. Valmiin ohjelman käyttöliittymä

## 4.3 Automatisoinnin algoritmit

### 4.3.1 Vaihe 1: Korkeusmallit

Ensimmäisessä vaiheessa ohjelma noutaa Kapsin palvelimelta korkeusmallit karttalehdittäin. Tarvittavien karttalehtien noutamiseksi ohjelma suorittaa ensin QGIS:n algoritmin *joinattributesbylocation* rajaavan tiedoston ja utm10-karttalehtijaon välillä, jossa karttalehtijaon attribuutit yhdistetään rajaavaan tasoon geometrisen sijainnin perusteella. Utm10-karttalehtijakoa ohjelma ei nouda Kapsin palvelimelta, koska Kapsin palvelimella kyseinen tiedosto oli korruptoitunut vielä elokuussa 2021. Utm10-karttalehtijako on ladattu avoimien aineistojen tiedostopalvelusta ja toimitettu käyttäjälle lisäosan mukana. Lisäosa ratkaisee utm10.shp-tiedoston tiedostopolun käyttäjän koneelta automaattisesti. Algoritmin lopputuloksena syntyy uusi väliaikainen tiedosto, jossa on vain rajaavan tason

alueella sijaitsevat karttalehtijakojen monikulmiot. Karttalehtitunnus on tallennettu monikulmioiden attribuutiksi *LEHTITUNNU*. QGIS-algoritmin *joinattributesbylocation* parametrejä voi muuttaa liitteessä 1 olevan lähdekoodin riveiltä 263–269 (Kuvio 17).

```

262 | #Karttalehdetattribuutteihin
263 | lehtitunnukset = processing.run("native:joinattributesbylocation", {'INPUT':selectedLayer,
264 |                               'JOIN':karttalehtijako,
265 |                               'PREDICATE':[1,2,4,5],
266 |                               'JOIN_FIELDS':['LEHTITUNNU'],
267 |                               'METHOD':0,'DISCARD_NONMATCHING':False,
268 |                               'PREFIX':'',
269 |                               'OUTPUT':'TEMPORARY_OUTPUT'})

```

Kuvio 17. QGIS *joinattributesbylocation* algoritmin parametrit

Predicate-kohdassa määritetään numeroarvoilla kriteerit karttalehtien valintaan:

- Arvolla 1 valitaan karttalehtijaon monikulmio, joka sisältää rajaavan alueen.
- Arvolla 2 valitaan karttalehtijaon monikulmio, joka on yhtenevä rajaavan alueen kanssa.
- Arvolla 4 valitaan karttalehtijaon monikulmio, jonka päällä rajaava monikulmio sijaitsee edes osittain.
- Arvolla 5 valitaan karttalehtijaon monikulmio, joka on kokonaan rajaavan alueen sisällä. (QGIS 2021c, 1013.)

Seuraavassa vaiheessa ohjelma käy läpi saadun tulostiedon *LEHTITUNNU* attribuuttikentän arvot, jotka syötetään ladattavien tiedostojen Internet-osoitteisiin. Esimerkiksi karttalehden N5412A kahden metrin hilakorkeusmallin osoite Kapsin palvelimella on [http://kartat.kapsi.fi/files/korkeusmalli/hila\\_2m/etrs-tm35fin-n2000/N5/N54/N5412A.tif](http://kartat.kapsi.fi/files/korkeusmalli/hila_2m/etrs-tm35fin-n2000/N5/N54/N5412A.tif).

Lataaminen käyttäjän koneelle tehdään QGIS:n algoritmilla *filedownloader*. Tässä vaiheessa onnistuneiden latausten Internet-osoitteet siirretään myös listatyyppiseen muuttujaan, josta osoitteet voidaan myöhemmin hakea raportin kirjoittamista varten. Samalla myös koneelle tallennettujen tiedostojen polut kerätään toiseen listatyyppiseen muuttujaan, josta tiedostopolut syötetään aineistojen yhdistämisen algoritmiin seuraavassa vaiheessa.

Noudetut korkeusmallit yhdistetään yhdeksi tiedostoksi QGIS-ohjelmaan integroidun komentoriviohjelman GDAL:n algoritmillä *merge*. Yhdistämisen algoritmin parametrit ovat liitteen 1 riveillä 311–320 (Kuvio 18).

```

311 #Yhdistäminen
312 yhdistettyOutput = processing.run("gdal:merge", {'INPUT':osoitteet,
313         'PCT':False,
314         'SEPARATE':False,
315         'NODATA_INPUT':None,
316         'NODATA_OUTPUT':None,
317         'OPTIONS':'',
318         'EXTRA':'',
319         'DATA_TYPE':5,
320         'OUTPUT':'TEMPORARY_OUTPUT'})

```

Kuvio 18. Korkeusmallien yhdistämisen algoritmien parametrit ohjelman lähdekoodissa

- *PCT*-kohdassa määrätään, otetaanko tulostiedoston pseudoväritaulu ensimmäisestä tasosta. Arvot annetaan boolean arvoilla eli totena (True) tai epätotena (False).
- *SEPARATE*-kohdassa määrätään, laitetaanko jokainen syötekuva omaan rasterikanavaansa. Arvo annetaan myös boolean arvona.
- *NODATA\_INPUT*-kohdassa määrätään syötekuvan pikseliarvo, joka käsitellään tyhjänä arvona.
- *NODATA\_OUTPUT*-kohtaan voidaan antaa tulostiedostolle tyhjä arvo.
- *DATA\_TYPE*-kohdassa määrätään tulostiedoston datatyyppi, joka oletusarvolla 5 määräytyy tyypiksi Float32.
- *OPTIONS*- ja *EXTRA*-kohtiin voidaan antaa kirjoittamisen lisämääreitä esimerkiksi tulostiedoston pakkausmuodoista.

Yhdistämisen lopputulos kirjoitetaan väliaikaiseen tiedostoon, joka luetaan projektiin mutta ei graafiseen liittymään. Tarkemmin GDAL:n *merge*-algoritmin lisämääreistä ja parametreistä on QGIS:n ja GDAL:n dokumentaatioissa. (QGIS 2021c, 1223–1224; GDAL 2021a.)

Yhdistämisen jälkeen ohjelma suorittaa väliaikaiseen yhdistettyyn korkeusmallitiedostoon GDAL:n algoritmin *cliprasterbymasklayer*, jolla korkeusmalli rajataan

ohjelman alussa annetun tason mukaiseksi. Algoritmin parametrit ovat liitteen 1 riveillä 320–340 (Kuvio 19).

```

325 clipped = processing.run("gdal:cliprasterbymasklayer", {'INPUT':yhdistettyOutput['OUTPUT'],
326                                     'MASK':selectedLayer,
327                                     'SOURCE_CRS':None,
328                                     'TARGET_CRS':None,
329                                     'NODATA':0,
330                                     'ALPHA_BAND':False,
331                                     'CROP_TO_CUTLINE':True,
332                                     'KEEP_RESOLUTION':False,
333                                     'SET_RESOLUTION':False,
334                                     'X_RESOLUTION':None,
335                                     'Y_RESOLUTION':None,
336                                     'MULTITHREADING':False,
337                                     'OPTIONS':'',
338                                     'DATA_TYPE':0,
339                                     'EXTRA':'',
340                                     'OUTPUT':'TEMPORARY_OUTPUT'})

```

Kuvio 19. Cliprasterbymasklayer-algoritmin parametrit ohjelman lähdekoodissa

Rajaamisen kannalta olennaiset parametrit ovat *CROP\_TO\_CUTLINE* ja *NODATA*.

- *CROP\_TO\_CUTLINE*-kohdan True-arvolla korkeusmalli leikataan monikulmion rajausviivan mukaiseksi.
- *NODATA*-kohdassa määrätään arvo, joka tulkitaan ohjelmassa tyhjäksi eli toisin sanoen läpinäkyväksi. (QGIS 2021c, 1213–1214.)

Korkeusmallien käsittelyn viimeisessä vaiheessa saatu rajattu tiedosto käännetään Geopackage-tiedostoformaattiin GDAL:n algoritmilla *translate*. Tässä vaiheessa saatu tulostiedosto tallennetaan jo käyttäjän koneelle ja ladataan projektiin myös graafisesti. *Translate*-algoritmin parametrit alkavat lähdekoodissa (Liite 1) riviltä 342 (Kuvio 20).

```

342 clippedGPKG = processing.run("gdal:translate", {'INPUT':clipped['OUTPUT'],
343                                     'TARGET_CRS':None,
344                                     'NODATA':0,
345                                     'COPY_SUBDATASETS':False,
346                                     'OPTIONS':'',
347                                     'EXTRA':'',
348                                     'DATA_TYPE':0,
349                                     'OUTPUT':outputdir + '/Korkeusmalli.gpkg'})
---
```

Kuvio 20. GDAL:n translate algoritmin parametrit lähdekoodissa

Tarvittaessa aineisto voidaan muuntaa toiseen koordinaattijärjestelmään *TARGET\_CRS*-kohdassa viittaamalla haluttuun koordinaattijärjestelmään sen EPSG-koodilla. Arvolla *None* ohjelma tunnistaa syötetason koordinaattijärjestelmän ja

käyttää tätä tietoa myös tulostiedostossa. *DATA\_TYPE*-kohdassa arvolla 0 käytetään myös syötetason tietotyyppiä. *OUTPUT*-kohdassa määrätään tulostiedoston sijainti ja nimi. Sijainti määräytyy käyttäjän ohjelman alussa antaman syötteen ja ohjelman käsittelemän monikulmion järjestysnumeron perusteella. Tiedoston formaatti määrätään tiedostonimen päätteen perusteella. Gpkg-päätteellä kirjoitetaan Geopackage-tiedosto. (QGIS 2021c, 1209–1211.)

#### 4.3.2 Vaihe 2: Ortoilmakuvat

Ohjelman vaiheessa 2 noudetaan ortoilmakuvat Kapsin palvelimelta sekä yhdistetään ja rajataan yhdeksi tiedostoksi. Vaiheen suorittamiseksi täytyisi suorittaa analyysi tarvittavista karttalehdistä. Kuitenkin vaiheessa 1 kyseinen analyysi on jo suoritettu, sillä Maanmittauslaitos on julkaissut sekä korkeusmallit että ortoilmakuvat samassa karttalehtijaossa eli utm10:n mukaisina. Ohjelma poimii siten tarvittavat karttalehdet edellisessä vaiheessa tehdyn analyysin perusteella.

Kapsin palvelimella ortoilmakuvat on jaoteltu aineiston keruuvuosittain, aineiston keräysprojekteittain ja pikselikoon mukaan useisiin kansioihin (Kuvio 21). Siten ohjelman on testattava läpi kaikki kansiot ja vuodet oikean tiedoston löytämiseksi.

#### **Index of /files/orto/etrs-tm35fin/**

---

<a href="#">../</a>			
<a href="#">mara_mv_20000_50/</a>	31-Aug-2012 22:19	-	
<a href="#">mara_mv_35000_100/</a>	19-Jul-2012 05:47	-	
<a href="#">mara_v_20000_50/</a>	19-Jul-2012 07:34	-	
<a href="#">mara_v_25000_50/</a>	12-May-2020 23:05	-	
<a href="#">mara_vv_20000_50/</a>	18-Jul-2012 23:52	-	
<a href="#">mara_vv_25000_50/</a>	12-May-2020 23:02	-	
<a href="#">mavi_v_25000_50/</a>	17-Nov-2018 21:18	-	
<a href="#">mavi_vv_25000_50/</a>	17-Nov-2018 17:28	-	
<a href="#">smk_v_15000_50/</a>	01-Aug-2020 23:03	-	
<a href="#">smk_vv_15000_50/</a>	01-Aug-2020 23:09	-	

---

#### **Index of /files/orto/etrs-tm35fin/smk\_v\_15000\_50/**

---

<a href="#">../</a>			
<a href="#">2015/</a>	11-Jan-2016 00:01	-	
<a href="#">2016/</a>	17-Dec-2016 00:33	-	
<a href="#">2017/</a>	17-Nov-2018 22:52	-	
<a href="#">2018/</a>	24-Nov-2018 10:46	-	
<a href="#">2019/</a>	21-Sep-2019 02:34	-	
<a href="#">2020/</a>	07-Nov-2020 00:15	-	

---

#### **Index of /files/orto/etrs-tm35fin/mara\_v\_25000\_50/2016/N54/**

---

<a href="#">../</a>			
<a href="#">02m/</a>	08-Jun-2016 23:21	-	
<a href="#">10m/</a>	08-Jun-2016 23:20	-	

---

Kuvio 21. Ortoilmakuvien kansiorakenne Kapsin palvelimella vuonna 2021

Kansiodien läpikäynti on toteutettu lähdekoodissa for-silmukan sisällä olevalla try-except-rakenteella ja Pythonin Urllib-moduulin request-funktiolla (Liite 1, rivit 393–431). For-silmukalla käydään läpi annetut vuodet ja try-except-rakenteella annetut osoitteet. Urllib-moduulin request-funktiolla voidaan testata, palautuuko kyselystä tieto tiedoston olemassaolosta (Python 2021c). Jos tieto ei palaudu, ohjelma siirtyy try-except-rakenteen mukaan seuraavaan testattavaan url-osoitteeseen. Jos request-funktio palauttaa tiedon olemassaolosta, siirretään kyseinen url-osoite noudettaviin karttalehtiin.

Ohjelma noutaa lopuksi karttalehdet saaduista url-osoitteista QGIS:n algoritmilla *filedownloader* (Liite 1, rivit 435–436). Koska ortoilmakuvien tiedostokoot ovat paljon suurempia kuin korkeusmallien, suoritetaan rajaaminen karttalehdittäin ennen tiedostojen yhdistämistä toisiinsa. Rajaaminen tehdään GDAL:n:n algoritmilla *cliprasterbymasklayer*, jonka parametrit ovat liitteen 1 riveillä 449–464 (Kuvio 22). Algoritmi on sama, jolla myös korkeusmallit leikattiin aikaisemmassa vaiheessa, mutta parametreissa on muutamia poikkeuksia.

```

449 processing.run("gdal:cliprasterbymasklayer", {'INPUT':uri,
450                                             'MASK':selectedLayer,
451                                             'SOURCE_CRS':None,
452                                             'TARGET_CRS':None,
453                                             'NODATA':0,
454                                             'ALPHA_BAND':False,
455                                             'CROP_TO_CUTLINE':True,
456                                             'KEEP_RESOLUTION':False,
457                                             'SET_RESOLUTION':False,
458                                             'X_RESOLUTION':None,
459                                             'Y_RESOLUTION':None,
460                                             'MULTITHREADING':True,
461                                             'OPTIONS':'COMPRESS=DEFLATE|PREDICTOR=2|ZLEVEL=9|BIGTIFF=YES',
462                                             'DATA_TYPE':0,
463                                             'EXTRA':'',
464                                             'OUTPUT':outputdir + '/ortocrop_' + lehti + '.tif' })

```

Kuvio 22. Ortoilmakuvien leikkaamisen parametrit lähdekoodissa

Suurimpana erona korkeusmallien leikkaamiseen ovat *OPTIONS*-parametrille annetut lisämääreet:

- *COMPRESS*-asetuksella määrätään TIFF-tiedoston kompressio eli pakkaustyyppi, tässä tapauksessa *DEFLATE*.
- *PREDICTOR*-asetuksen arvolla 2 määrätään kuvan pakkaajan tallettamaan vaakasuunnassa vierekkäisten solujen erotuksen arvot varsinaisten solujen RGB arvojen sijasta.
- *ZLEVEL*-asetuksella määrätään pakkauksen suuruus silloin kun käytetään *DEFLATE*-pakkaustyyppiä. Pienemmällä arvolla pakataan

vähemmän ja suuremmalla arvolla enemmän. Arvot voidaan antaa välillä 1–9.

- BIGTIFF-asetuksella määrätään, kirjoitetaanko lopputulos tavallisena vai BIGTIFF-muotoisena TIFF-kuvana. Tavallisen TIFF-kuvan suurin mahdollinen tiedostokoko on 4GB, eli tätä suuremmat tiedostokoot on kirjoitettava BIGTIFF-muotoisen. Arvo *YES* pakottaa aina lopputuloksen BIGTIFF-muotoiseksi, joka on tässä tapauksessa varmin valinta, koska ohjelma ei tarkasta etukäteen ladattujen karttalehtien tiedostokokoja. (GDAL 2021b.)

Karttalehtien leikkaamisen jälkeen lehdet yhdistetään toisiinsa luomalla virtuaalirasteri GDAL:n algoritmilla *buildvirtualraster*. Algoritmi *buildvirtualraster* ei varsinaisesti luo syötetasoista yhtenäistä tiedostoa vaan tiilimosaiikin, jossa yksi karttalehti on yksi tiili. Tällä tavoin laajat alueet toimivat nopeammin, sillä ohjelman tarvitsee hakea muistiin vain se tiili, jota tarkastellaan koko rasteritiedoston sijasta. Algoritmin *buildvirtualraster* parametrit ovat liitteen 1 riveillä 473–481 (Kuvio 23).

```

473 vrt=processing.run("gdal:buildvirtualraster", {'INPUT':cropatut_osoitteet,
474                                     'RESOLUTION':0,
475                                     'SEPARATE':False,
476                                     'PROJ_DIFFERENCE':False,
477                                     'ADD_ALPHA':True,
478                                     'ASSIGN_CRS':None,
479                                     'RESAMPLING':0,
480                                     'SRC_NODATA':'',
481                                     'EXTRA':'',
482                                     'OUTPUT':'TEMPORARY_OUTPUT'})
483

```

Kuvio 23. Buildvirtualraster-algoritmin parametrit lähdekoodissa

Olenlaisin parametri on *RESOLUTION*, jolle voidaan antaa kolme eri arvoa:

- Arvolla 0 mosaiikin resoluutio on kaikkien syötetiedostojen resoluutioiden keskiarvo.
- Arvolla 1 mosaiikin resoluutio määritetään syötetiedostojen korkeimman resoluution mukaan.
- Arvolla 2 mosaiikin resoluutio määritetään syötetiedostojen pienimmän resoluution mukaan. (QGIS 2021c, 1225–1226.)

Virtuaalirasteri kirjoitetaan lopulta GeoPackage-formaattiin GDAL:n algoritmilla *translate* (Liite 1, rivit 495–501), jota käytettiin korkeusmalleissa vaiheessa 1. GeoPackage-formaattiin tallentuu virtuaalirasterin tiilet ja tiilien indeksointi. Samassa yhteydessä kirjoitetaan myös väliaikainen TIFF-tiedosto (Liite 1, rivit 485–491), jolla myöhemmin värjätään ladatut pistepilvet PDAL-komentoriviohjelman avulla päävaiheessa 4.

#### 4.3.3 Vaihe 3: Maastotietokanta

Lisäosan kolmannessa vaiheessa projektiin lisätään maastotietokannan aineistot. Tarvittavien karttalehtien hakemiseksi suoritetaan ensin analyysi algoritmilla *joinattributesbylocation* samoin kuin korkeusmallien tapauksessa vaiheessa 1. Algoritmin parametrit ovat liitteen 1 riveillä 538–544 (Kuvio 24). Ainoana erona analyysi tehdään rajaustiedoston ja utm25-karttalehtijaon kanssa, joka on toimitettu myös lisäosan mukana käyttäjälle. Lisäosa ratkaisee kyseessä olevan karttalehtijaon sijainnin käyttäjän koneella automaattisesti.

```

535 MTK_karttalehtijako = resolve('utm25LR.shp')
536
537 #Karttalehdettribuutteihin
538 MTK_lehtitunnukset = processing.run("native:joinattributesbylocation", {'INPUT':selectedLayer,
539                                     'JOIN':MTK_karttalehtijako,
540                                     'PREDICATE':[1,2,4,5],
541                                     'JOIN_FIELDS':['LEHTITUNNU'],
542                                     'METHOD':0, 'DISCARD_NONMATCHING':False,
543                                     'PREFIX':'',
544                                     'OUTPUT':'TEMPORARY_OUTPUT'})

```

Kuvio 24. Algoritmin *joinattributesbylocation* parametrit lisäosan lähdekoodissa

Maastotietokannan osalta käyttäjän koneelle ei ladata koko ZIP-tiedostoa. Projektiin ladataan vain tarvittavat tasot suoraan Kapsin palvelimella sijaitsevasta Shapezip-tiedostosta GDAL:n *virtual file system* -työkalun avulla. GDAL:n virtual file system -työkalut tarjoavat suoran pääsyn http- tai ftp-palvelimella sijaitsevaan tiedostoon lisäämällä URL-osoitteen eteen merkkijononon *vsicurl/* (liite 1, rivi 566). ZIP-tiedoston sisällä olevaan tasoon viitataan puolestaan lisäämällä ZIP-tiedoston URL-osoitteen perään merkkirivi *|layername=* ja yhtäsuuruusmerkin jälkeen tarvittavan tason nimi (Liite 1, rivit 569–600). Maanmittauslaitoksen maastotietokannan tasojen nimeämisen periaate on esitetty aiemmin taulukossa 1. Tässä vaiheessa ohjelma yhdistää ja rajaa eri karttalehtien tiedostot aineistola-

jeittain yhdeksi väliaikaiseksi tiedostoksi QGIS:n omilla algoritmeilla *mergevectorlayer* ja *clip* (Liite 1, rivit 602–695). Maastotietokannan aineistojen muuttamista 3D-aineistoksi käsitellään myöhemmin luvussa 4.2.5.

#### 4.3.4 Vaihe 4: Pistepilvet

Ohjelman suorittamassa päävaiheessa 4 haetaan tarvittavat pistepilvet Kapsin palvelimelta sekä yhdistetään, rajataan ja suodatetaan tietyllä luokituksella olevia pisteitä pois. Lisäksi pistepilvet värjätään aikaisemmin luodun ortoilmakuvan perusteella sekä muodostetaan pistepilvestä pintamalli, jota seuraavassa vaiheessa käytetään maastotietokannan rakennusten korkeuksien määrittämiseen.

Ohjelman alussa suoritetaan analyysi *joinattributesbylocation* utm5-karttalehti-jaon ja annetun rajaustiedoston välillä tarvittavien karttalehtien saamiseksi (Liite 1, rivit 717–722). Utm5-karttalehtijako sisältyy lisäosan asennuskansioon, ja lisäosa ratkaisee automaattisesti karttalehti-jaon sijainnin käyttäjän koneella. Tarvittavat karttalehdet ladataan käyttäjän koneelle QGIS:n algoritmilla *filedownloader*. Kapsin palvelimella stereomalliluokiteltujen pistepilvien tiedostot on jaettu kansioihin aineiston keruuvuosittain. Ohjelma etsii oikean kansion Urllib-moduulin ja *try-except*-rakenteen avulla vastaavasti kuin ortoilmakuvien tapauksessa vaiheessa 2. Kohdan lähdekoodi on liitteen 1 riveillä 728–761.

Pistepilviaineistojen käsittely poikkeaa hieman muista vaiheista, sillä QGIS-ohjelma ei vielä tarjoa suoraan pistepilviaineistojen käsittelyyn tarkoitettuja algoritmeja. QGIS-ohjelman mukana on kuitenkin asennettu PDAL-niminen komentorivipohjainen pistepilviaineistojen käsittelyyn tarkoitettu ohjelma, jota voidaan käyttää QGIS:n mukana asennetun OsGeoShell-käyttöliittymän kautta. PDAL-ohjelmalla suoritettavat toiminnot voidaan antaa joko komentoriville annettuina käskyinä tai niin sanottuina pipeline-tiedostona (PDAL 2021a; PDAL 2021b). Pipeline-tiedostoon annetaan suoritettavat komennot lineaarisessa järjestyksessä JSON-muotoiltuna tekstitiedostona, jossa käskyt ja arvot annetaan niin sanottuina nimi-arvo pareina (PDAL 2021b). Esimerkki pipeline-tiedostosta on kuviossa 25.

```
[
  "E:/Kaupunkimallit/Mastotesti/1/Pistepilvi/N5424G2.laz",
  "E:/Kaupunkimallit/Mastotesti/1/Pistepilvi/N5424G4.laz",
  "E:/Kaupunkimallit/Mastotesti/1/Pistepilvi/N5442A2.laz",
  "E:/Kaupunkimallit/Mastotesti/1/Pistepilvi/N5424G1.laz",
  "E:/Kaupunkimallit/Mastotesti/1/Pistepilvi/N5424G3.laz",
  "E:/Kaupunkimallit/Mastotesti/1/Pistepilvi/N5442A1.laz",
  {
    "type": "filters.merge"
  },
  "E:/Kaupunkimallit/Mastotesti/1/Pistepilvi/PP_yhdistetty.laz"
]
```

Kuvio 25. Esimerkki PDAL:n pipeline-tiedostosta

Kuviossa 25 tiedostoon on ensin annettu yhdistettävät tiedostot. Jäljempänä *type*-kohdassa määrätään, mitä PDAL:n algoritmia käytetään. Tiedoston toiseksi viimeisellä rivillä annetaan tulostiedoston osoite.

Pistepilvien käsittely on toteutettu siten, että lisäosa luo kustakin käsittelyvaiheesta, esimerkiksi karttalehtien yhdistämisestä, oman pipeline-tiedoston. Pipeline-tiedoston luomisen jälkeen OsGeoShell käynnistyy aliohjelmana Pythonin subprocess-moduulin avulla ja suorittaa PDAL-ohjelman parametreinaan aiemmin luodut pipeline-tiedoston mukaiset toiminnot.

Lisäosa yhdistää pistepilvikarttalehdet PDAL:n algoritmilla merge, jonka jälkeen yhdistetty pistepilvi rajataan rajaustiedoston mukaiseksi algoritmilla crop. Pistepilvien yhdistämiseen liittyvä lähdekoodi on liitteen 1 riveillä 775–803 ja pistepilvien rajaamiseen liittyvä lähdekoodi riveillä 805–855. Pistepilviä rajaava monikulmiotaso annetaan pipeline-tiedostoon Well-Known-Text-muotoiltuna koordinaattiluettelonä. Koska Maanmittauslaitoksen avoimet aineistot on toimitettu ETRS-TM35FIN-koordinaattijärjestelmässä, ohjelma tekee ensin kopion rajaavasta tasosta ja muuntaa kopioidun tason myös ETRS-TM35FIN-koordinaattijärjestelmään (Liite 1, rivit 810–814). Rajaavan tason monikulmion Well-Known-Text-muotoiltu koordinaattiluettelo haetaan pipeline-tiedostoon tästä muunnetusta tasosta (Liite 1, rivit 816–819 ja 828). Täten rajaustiedoston koordinaattijärjestelmänä voidaan käyttää mitä tahansa koordinaattijärjestelmää, jonka QGIS ohjelma tunnistaa.

Lisäksi rajaamisvaiheessa aineistolle ajetaan PDAL:n algoritmi outlier, joka luokittelee selvästi virheelliset pisteet LAS-luokkaan 7 (PDAL 2021c). Ennen lopullista aineiston kirjoitusta kyseiset virhepisteet suodatetaan pois PDAL:n range-algoritmin avulla. Outlier-algoritmin parametrit ovat lähdekoodissa liitteen 1 riveillä 830–835 ja range-algoritmin parametrit riveillä 836–839 (Kuvio 26).

```

821 #Tee JSON Pipeline: Crop
822
823 filel = open(ppoutputdir + '/pdalpipeline_crop.json', 'w')
824 filel.write('[\n')
825 filel.write('    "' + ppoutputdir + '/PP_yhdistetty.laz",\n')
826 filel.write('    {\n')
827 filel.write('        "type":"filters.crop",\n')
828 filel.write('        "polygon":"' + jsongeometriat + '\n')
829 filel.write('    },\n')
830 filel.write('    {\n')
831 filel.write('        "type":"filters.outlier",\n')
832 filel.write('        "method":"radius",\n')
833 filel.write('        "radius":3.0,\n')
834 filel.write('        "min_k":4\n')
835 filel.write('    },\n')
836 filel.write('    {\n')
837 filel.write('        "type":"filters.range",\n')
838 filel.write('        "limits":"Classification![7:7]"\n')
839 filel.write('    },\n')
840 filel.write('    {\n')
841 filel.write('        "type":"writers.las",\n')
842 filel.write('        "filename":"' + ppoutputdir + '/PP_rajattu.laz"\n')
843 filel.write('    },\n')
844 filel.write(']')
845 filel.close()

```

Kuvio 26. PDAL:n CROP-pipelinetiedoston luominen lähdekoodissa

Kuviossa 26 rivillä 832 kohdassa `method` määrätään outlier-algoritmi suorittamaan suodatuksen säteen perusteella. Jäljempänä kohdassa `radius` määrätään käytettävä säde ja kohdassa `min_k` lähimpien naapureiden vähimmäismäärä. Tällöin esimerkiksi `radius`-arvolla 3.0 ja `min_k`-arvolla 4 virheellisiksi pisteiksi luokitellaan kolmen metrin säteen sisältä ne pisteet, joilla on vähemmän kuin neljä naapuripistettä. (PDAL 2021c.)

Rajaamisen jälkeen pistepilvestä luodaan GeoTiff-muotoinen pintamalli PDAL:n algoritmilla `writers.gdal`, jota myöhemmin käytetään rakennusten korkeuksien määrittämiseen. Kyseisen algoritmin parametrit ovat liitteen 1 riveillä 861–874 (Kuvio 27).

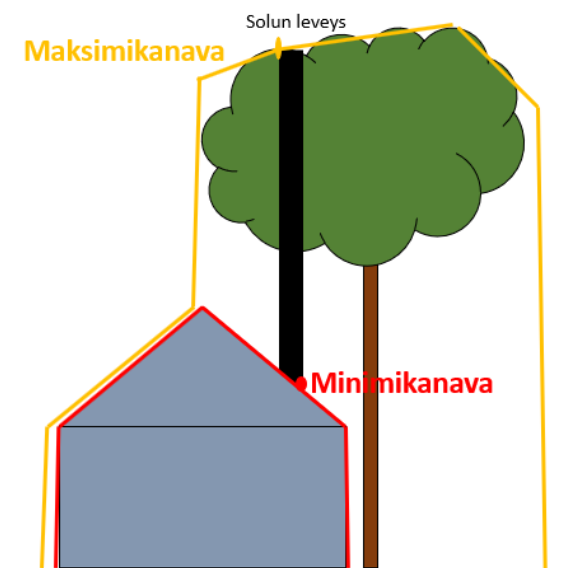
```

861 #Tee JSON Pipeline: Pointcloud -> DSM
862
863 filel = open(ppoutputudir + '/pdalpipeline_dsm.json','w')
864 filel.write('{\n')
865 filel.write('  "' + ppoutputudir + '/PP_rajattu.laz",\n')
866 filel.write('    {\n')
867 filel.write('      "filename":"' + ppoutputudir + '/PP_rajattu_DSM.tif"
868 filel.write('      "gdaldriver":"GTiff",\n')
869 filel.write('      "output_type":"all",\n')
870 filel.write('      "resolution":"1.0",\n')
871 filel.write('      "type": "writers.gdal"\n')
872 filel.write('    }\n')
873 filel.write('}')
874 filel.close()
875

```

Kuvio 27. Pintamallin luomisen parametrit lähdekoodissa

Tärkeimpiä parametrejä ovat `output_type` ja `resolution`. `Resolution`-parametrilla määrätään luotavan pintamallin resoluutio eli rasterin solukoko (PDAL 2021d). `Output_type`-parametrilla puolestaan määrätään, mitkä kanavat rasteriin luodaan (PDAL 2021d). Arvolla `max` kirjoitettaisiin puhtaasti yksikanavainen pintamalli, jossa solun z-arvo olisi pistepilven maksimiarvo annetun solukoon sisältä (PDAL 2021d). Arvolla `all` kirjoitetaan myös muun muassa minimi- ja keskiarvokanava (PDAL 2021d). Lisäosa kirjoittaa kaikki kanavat, sillä rakennusten korkeustarkkuuden varmistamiseksi pelkkä maksimikanavan kirjoittaminen ei riitä varsinkaan sellaisissa rakennuksissa, jossa puuston lehvästöt yltyvät rakennusten kattojen ylle (Kuvio 28).

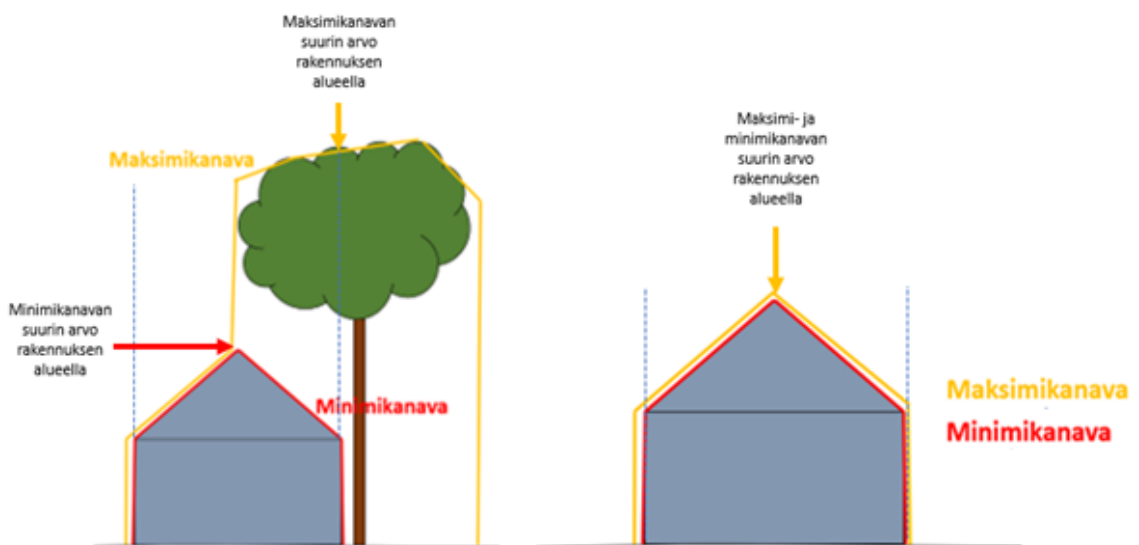


Kuvio 28. Minimi-maksimikanavien tuottamien mallien erot

Kuviossa 28 keltaisella viivalla on kuvattu pintaa, joka tulisi maksimikanavan asetuksella, ja punaisella viivalla kuvattu pintaa, joka tulisi minimikanavan asetuksella silloin kun pistepilvessä on mukana rakennusten ja puuston pisteet.

Kansallisissa ja kansainvälisissä ohjeissa on poikkeavuutta rakennuksen korkeuden määrittämisessä. Kansallisten ohjeiden mukaan rakennusten korkeus tulisi tallentaa rakennuksen korkeimpaan kohtaan, kun taas kansainvälisten ohjeiden mukaan rakennuksen korkeus tulisi tallentaa rakennuksen katon keskikorkeuden mukaan. Rakennusten korkeuksien osalta lisäosa on pyritty ohjelmoimaan kansallisten ohjeiden mukaisesti ja tallentamaan korkeudeksi rakennuksen korkein kohta. Vaikka Maanmittauslaitoksen aineisto on stereomalliluokiteltua aineistoa, aineistossa on paljon pisteitä, jotka ovat väärällä luokituksella, tai niitä ei ole luokiteltu lainkaan. Esimerkiksi rakennusten ja puuston kohdilla luokittelemattomia pisteitä on aineistossa useissa karttalehdissä.

Rakennusten korkeuksien laskemiseksi optimaalisessa tilanteessa pintamalli luotaisiin aineistosta, jossa rakennukset ja puusto olisi luokiteltu kokonaan eri luokkiin ja puuston pisteet suodatettu aineistosta luokituksen mukaan pois. Silloin rakennusten korkeimman kohdan laskemiseksi voitaisiin käyttää rakennuksen muodostaman monikulmion alueen sisältä maksimikanavan suurinta arvoa (Kuvio 29).



Kuvio 29. Vaihtoehdot rakennuksen korkeuden määrittämiseen

Nyt kuitenkin rakennuksia ja puustoa on samalla luokituksella, jolloin kyseistä tapaa käyttämällä rakennuksen korkeudeksi tulisi puuston korkeus. Ongelma voitaisiin ratkaista luokittelemalla aineisto uudestaan PDAL:n avulla, mutta riittävän oikeaan lopputulokseen päästään myös käyttämällä rakennuksen muodostaman monikulmion sisältä rasterin minimikanavan suurinta arvoa ja mahdollisimman pientä resoluutiota (Kuvio 29).

Lopuksi yhdistetty ja rajattu pistepilvitiedosto värjätään yhdistetyn ja rajatun or-toilmakuvan perusteella PDAL:n algoritmilla colorization (Liite1, rivit 896–911). Samassa yhteydessä värjäyksen jälkeen aineisto jaetaan kahteen eri tiedostoon. Toinen tiedosto sisältää kaikkien luokkien pisteet (Liite 1, rivit 912–918) ja toinen tiedosto puuston, siltojen ja mastojen pisteet. Jakaminen tehdään PDAL:n algoritmilla filters.range (Liite 1, rivit 919–932). Range-algoritmista kasvillisuusluokkiin viitataan luokilla 3, 4 ja 5, siltoihin luokituksella 10 ja mastoihin luokituksella 15 (PDAL 2021e). Tarkempi PDAL:n colorization algoritmin dokumentaatio on PDAL:n verkkosivuilla (PDAL 2021e).

#### 4.3.5 Vaihe 5: Maastotietokannan käsittely

Lisäosan viidennessä vaiheessa Maastotietokannan kohteet käsitellään kolmiulotteisiksi aineistoiksi. Rakennusten kohdalla kolmiulotteinen aineisto toteutetaan ensin laskemalla rakennusten korkeudet maanpinnan suhteen käyttäen apuna korkeusmallia ja muodostettua pintamallia. Saatu korkeus siirretään tasolle *Extrusion*-attribuutiksi, josta tasolle annettu tyyli tiedosto hakee rakennuksen korkeuden. Tällä tavoin käyttäjä voi helposti korjata automaation aiheuttamia virheitä muuttamalla vain *Extrusion*-attribuutin arvoja ja tarkastelemalla lopputulosta 3D-näkymässä. Jos taso halutaan kääntää lopulta todelliseksi 3D-geometriaksi, esimerkiksi GML-formaattiin, käyttäjä voi lisäosan suorittamisen jälkeen ajaa tasolle esimerkiksi QGIS:iin integroidun GRASS GIS:n algoritmin v.extrude (GRASS Development Team 2021) ja lisätä saadun tason johonkin lisäosan muodostamaan GeoPackage-tiedostoon. Mastojen, piippujen, pylväiden ja johtojen osalta kolmiulotteinen aineisto toteutetaan myös tyyli tiedoston avulla, mutta käyttämällä kullekin kohteelle ennalta määrättyä yhtä korkeutta.

Johtojen, pylväiden ja rakenteiden osalta maaston kohteiden luokittelut on tehty edellä mainittuihin tyyli tiedostoihin. Pylväiden tyyli tiedostoon kohteista on luokiteltu työn rajauksen mukaisesti suurjännitelinjan pylväät, joiden LUOKKA-attribuutti on maastotietokannan aineistossa 22392 (Maanmittauslaitos 2019). Rakenteiden tyyli tiedostoon on luokiteltu mastot, joiden LUOKKA-attribuutti on 44800 (Maanmittauslaitos 2019), sekä savupiiput, joiden LUOKKA-attribuutti on 45300 (Maanmittauslaitos 2019). Lisäksi johtojen tyyli tiedostoon on luokiteltu suurjännitelinjat, joiden LUOKKA-attribuutti on 22311 (Maanmittauslaitos 2019).

Rakennusten korkeuksien määrittämisen ensimmäisessä vaiheessa lasketaan korkeusmallin eli maanpinnan ja rakennuksen leikkausviivan alin korkeus käyttämällä algoritmia *zonalstatisticsfb* (Kuvio 30). Kyseisellä algoritmilla voidaan laskea rasteritasosta vyöhykekohtaiset tilastot, jotka tallennetaan tason attribuuttikentiksi. Syötteeksi algoritmille annetaan yhdistetty ja rajattu korkeusmalli ja maastotietokannan rakennusten yhdistetty ja rajattu aineisto.

```

959 zonalDem = processing.run("native:zonalstatisticsfb", {'INPUT':MTK_vlayer_rajattu,
960                                                    'INPUT_RASTER':rajattu,
961                                                    'RASTER_BAND':1,
962                                                    'COLUMN_PREFIX':'zMaa_',
963                                                    'STATISTICS':[5],
964                                                    'OUTPUT':'TEMPORARY_OUTPUT'})
965
966 #Käsittely: maanpinnan korkeus attribuutista z-koordinaateiksi
967
968 setZvalue = processing.run("native:setzvalue", {'INPUT':zonalDem['OUTPUT'],
969                                                'Z_VALUE':QgsProperty.fromExpression('"zMaa_min"'),
970                                                'OUTPUT':'TEMPORARY_OUTPUT'})
971

```

Kuvio 30. Vyöhykekohtaisten tilastojen laskenta korkeusmallista ja siirtäminen Z-arvoksi lähdekoodissa

Tärkeimpinä parametreina algoritmin suorittamisessa ovat

- RASTER\_BAND, jonka arvolla 1 käytetään rasterin minimikanavaa
- COLUMN\_PREFIX, jonka arvolla 'zMaa\_' tilastoattribuuttien etuliitteeksi lisätään zMaa\_
- STATISTICS, jonka arvolla 5 lasketaan vyöhykekohtainen minimi. (QGIS 2021c, 922–923.)

Saatu arvo tallennetaan attribuuttitiedon lisäksi monikulmiolle myös geometriseksi Z-koordinaatiksi algoritmilla *setzvalue*, jonka parametrit on esitetty kuviossa 30 riveillä 968–970.

Ennen rakennusten kattojen ylimpien korkeuksien määrittämistä rakennusten monikulmioille ajetaan algoritmi *buffer* (Kuvio 31 ja Liite 1 rivit 975–982), joka tekee rakennusten tasosta kopion ja kopioi rakennusten monikulmioita sisälle päin annetun arvon verran. Toiminnon tarkoituksena on vähentää rakennusten kohdalle osuvien puuston pisteiden määrää ennen kattojen korkeuksien määrittämistä.

```

972 #Käsittely: Negatiivinen buffer. Pyrkimyksenä pienentää rakennuksen monikulmiota sisälle päin,
973 #jotta rakennuksen monikulmiolle ei sattuisi puuston pisteitä
974
975 Mtk3Dtemp = processing.run("native:buffer", {'INPUT':setZvalue['OUTPUT'],
976                                             'DISTANCE':-2.0,
977                                             'SEGMENTS':1,
978                                             'END_CAP_STYLE':1,
979                                             'JOIN_STYLE':1,
980                                             'MITER_LIMIT':2,
981                                             'DISSOLVE':False,
982                                             'OUTPUT':'TEMPORARY_OUTPUT'})

```

Kuvio 31. *Buffer* algoritmi lähdekoodissa

*Buffer*-algoritmin ajamisen jälkeen rakennusten kattojen korkein kohta määritellään *zonalstatisticsfb*-algoritmin avulla (Kuvio 32 ja Liite 1, rivit 988–994), jonka syötteeksi annetaan pintamalli ja edellä luotu sisennetty rakennusten monikulmiotaso. *Zonalstatisticsfb*-algoritmissa käytetään pintamallin minimikanavaa maksimikanavan sijasta, jonka perustelu on esitetty aiemmin sivuilla 41–42, ja laskettavana statistiikkana pintamallin minimikanavan maksimiarvoa monikulmion sisältä.

```

985 #Käsittely: Korkeus DSM:stä buffertason rakennuksen katon korkeus-attribuutiksi,
986 #rasterband 1 on minimikanava, statistics2 on keskiarvo, 6 on maksimi
987
988 Mtk3Dtemp = processing.run("native:zonalstatisticsfb", {'INPUT':Mtk3Dtemp['OUTPUT'],
989                                                         'INPUT_RASTER':dsm,
990                                                         'RASTER_BAND':1,
991                                                         'COLUMN_PREFIX':'zKat_',
992                                                         'STATISTICS':[6],
993                                                         'OUTPUT':'TEMPORARY_OUTPUT'})
994

```

Kuvio 32. Rakennusten korkeimman kohdan määrittely *zonalstatisticsfb*-algoritmilla

Laskennan jälkeen tuloksena on sisennetty rakennusten monikulmiotaso, jolla on attribuuttikenttinä *zMaa\_min*, jossa on rakennuksen ja maanpinnan leikkausviivan alin korkeusasema, sekä *zKat\_max*, jossa on rakennuksen ylin korkeusasema. Rakennusten korkeudet maanpinnan suhteen lasketaan käyttämällä QGIS Expression -dialogia, jossa *zKat\_max* kentän arvoista vähennetään *zMaa\_min*-kentän arvot. Laskennan tulos tallentuu *Extrusion*-attribuutiksi. Toiminnon lähdekoodi on liitteen 1 riveillä 999–1015. Lopulta saatu *Extrusion*-attribuuttikenttä yhdistetään algoritmilla *joinattributetable* (Liite 1, 1017–1027) siihen tasoon, jossa on rakennusten alkuperäiset muodot ja z-koordinaattina maanpinnan ja rakennuksen leikkausviivan alin korkeusasema.

Lopulta maastotietokannan kaikki osa-aineistot yhdistetään yhdeksi GeoPackage-tietokannaksi algoritmilla *package* (Kuvio 33 ja Liite 1, rivit 1043–1048).

```

1041         #Tehdään Geopackage
1042
1043         outputgeopackage = outputdir + '/Maastotietokanta.gpkg'
1044
1045         processing.run("native:package", {'LAYERS': [MTK3D, MTKjohdot, MTKpylvaat, MTKrakenteet],
1046             'OUTPUT': outputgeopackage,
1047             'OVERWRITE': True,
1048             'SAVE_STYLES': False})
1049

```

Kuvio 33. GeoPackage-tietokannan muodostus lähdekoodissa

Maastotietokannan aineistot lisätään karttaikkunaan muodostetusta GeoPackage-tietokannasta ja kullekin tasolle annetaan omat qml-tyylitiedostonsa (Liite 1, rivit 1050–1078), jotka on toimitettu lisäosan asennuskansion mukana.

#### 4.3.6 Vaihe 6: Lokitiedoston kirjoitus

Lisäosan viimeisessä eli kuudennessa vaiheessa kirjoitetaan lokitiedosto, johon kerätään muodostetut uudet tiedostot sekä alkuperäiset tiedostot, joista uusi aineisto on tehty (Liite 1, rivit 1113–1186). Samassa yhteydessä ohjelma myös poistaa kaikki väliaikaiset tiedostot, joita ohjelma on suorittamisensa aikana muodostanut (Liite 1, rivit 1084–1111). Esimerkki lokitiedostosta on liitteessä 3.

## 5 LISÄOSAN JULKAISU JA LISENSOINNIT

QGIS:n ylläpitämässä lisäosakirjastossa lisäosien suositellaan toimivan kaikilla QGIS-ohjelman tukemilla käyttöjärjestelmillä eli Windowsilla, MacOS:lla ja Linuxilla. Lisäosan kehitys rajattiin kuitenkin vain Windows-versiolle. Lisäosalle ei myöskään voitu tehdä laajamittaista testaamista, jota kyseinen lisäosakirjasto edellyttäisi. Tämän vuoksi lisäosa julkaistaan vain tämän opinnäytetyön liitteenä (Liite 2).

Lisäosan tekemisessä on käytetty QGIS Plug-in Builder -nimistä lisäosaa, joka on julkaistu GNU General Public License -version 2 alaisena. General Public License on avoin lisenssi, joka mahdollistaa teoksen uudelleen levittämisen ja/tai muokkaamisen (Free Software Foundation 1991), mutta asettaa tiettyjä rajoituksia johdannaisteoksien valmistajille, sillä lisenssiehdot periytyvät johdannaisteokseen (Free Software Foundation 1991). Kuitenkin General Public License mahdollistaa johdannaisteoksen käyttävän myös uudempaa versiota lisenssistä kuin alkuperäinen teos (Free Software Foundation 1991). Koska edellä mainitun QGIS Plug-in Builder lisäosan lisenssiehdot velvoittavat myös luodun lisäosan julkaisua, *Kaupunkimallintaja*-lisäosa julkaistaan lisenssillä General Public License -versio 2.

Lisäosa käyttää hyödykseen myös QGIS:n mukana tullutta PDAL-ohjelmaa, joka on julkaistu kolmen ehdon BSD-lisenssin alla (PDAL 2021f). BSD-lisenssit ovat myös avoimia lisenssejä, joista on useita versioita. Kaikki BSD-lisenssit eivät kuitenkaan ole yhteensopivia GNU General Public License-version 2 kanssa. Yhteensopivuusongelmista johtuen BSD-lisensseistä kehitettiin uusia versioita, kuten kolmen ehdon BSD-lisenssi. Kolmen ehdon BSD-lisenssi ja GNU General Public License versio 2 ovat yhteensopivia lisenssejä. (Free Software Foundation 2021.)

*Kaupunkimallintaja*-lisäosan asennuskansio sisältää myös Maanmittauslaitoksen avoimista aineistoista karttalehtijaon 06/2021 tiedostoja, jotka on julkaistu Nimeä CC 4.0 lisenssin alaisina. Nimeä CC 4.0 Lisenssi mahdollistaa aineiston kopioinnin, jakamisen ja muuntelun (Creative Commons).

## 6 ASENNUS- JA KÄYTTÖOHJE

Ohjelmoitu työ rajattiin vain QGIS:n Windows-käyttöjärjestelmän QGIS-versioon 3.18 ja siitä ylöspäin, joten asennus- ja käyttöohje laaditaan myös vain Windows-versiolle. Asennus- ja käyttöohje laadittiin vain suomen kielellä, sillä ohjelman käyttämät aineistot ovat suomalaisia ja siten lisäosakin on suunniteltu suomalaisen toimintaympäristöön. Asennus- ja käyttöohjeessa käydään lävitse ohjelman asentaminen QGIS-paikkatietosovellukseen sekä opastetaan ohjelman käyttöön. Asennus- ja käyttöohje lisätään lisäosan asennuskansion sisälle.

## 7 POHDINTA

Opinnäytetyön tavoitteena oli ohjelmoida lisäosa, joka automatisoi kaupunkimallinnusprosessia Maanmittauslaitoksen avoimien aineistojen pohjalta. Tältä osin ohjelma toteuttaa sille asetetut tavoitteet, mutta ohjelmassa ja menetelmässä on myös omat puutteensa. Suurimpana ongelmana toteutuksessa on Maanmittauslaitoksen lähtöaineiston ajantasaisuudesta johtuvat ongelmat varsinkin, jos eri aineistolajit on tuotettu eri aikoina. Esimerkiksi rakennukset voi olla tehty vuonna 2020 ja syötetty maastotietokantaan samana vuonna, mutta pistepilvi, josta muodostetun pintamallin perusteella rakennusten korkeudet tulisi laskea, on tuotettu vuonna 2010. Tällöin rakennusten korkeudet tallentuvat vuoden 2010 tilanteen mukaan virheellisesti. Rakennusten korkeuksien osalta ongelmia aiheuttaa myös se, että Maastotietokannan rakennusten aineistoissa on monesti vain yksi monikulmio rakennusta kohden riippumatta rakennuksen eri kerrosluvuista. Näin rakennukset, joissa on vaihtelevia kerroslukuja, mallintuvat väärin korkeimman kerrosluvun mukaan. Samoin pistepilvet vääntyvät väärin, jos ortoilmakuva ja pistepilvi on tuotettu eri vuosina. Tämä ongelma on kuitenkin helposti havaittavissa ja siten myös helpohkosti korjattavissa käsityönä. Myös pistepilviaineiston resoluutio 0,5 pistettä /m<sup>2</sup> on liian harva, jotta aineistosta voitaisiin määrittää korkeuksia mastoille, pylväille tai piipuille. Siten toteutuksessa oli käytettävä ennalta määritettyjä korkeuksia.

Osaltaan riskialtista on myös se, että *Kaupunkimallintaja*-lisäosa nojaa kartat.kapsi.fi-palvelimeen, jonka saatavuutta ja toimivuutta ylläpitäjä ei takaa. Tämän vuoksi lisäosakaan ei toimi, jos kartat.kapsi.fi-palvelun tarjoaja päättää lopettaa palvelimen ylläpidon. Osaltaan viitteitä tästä saatiin myös jo lisäosan testausaikana, jolloin huomattiin, että kartat.kapsi.fi-palvelimella on useissa karttalehdissä ja aineistolajeissa tiedostoja, jotka ovat korruptoituneita. Siten myöskään lisäosa ei pysty takaamaan, että kaupunkimallinnus onnistuisi lisäosalla kaikkialta Suomesta. Lisäosa myös nojaa stereomalliluokiteltuun pistepilviaineistoon, jota Maanmittauslaitos ei ole tuottanut koko Suomen alueelta. Lisäosan toimimattomuus voi johtua myös siitä, ettei stereomalliluokiteltua pistepilviaineistoa halutulta alueelta ole olemassa. Yksi lisäosan jatkokehityskohde olisi käyttää automaattiluokiteltuja pistepilviaineistoja ja luokitella aineistot esimerkiksi PDAL:n avulla lisäosan suorittamisen aikana.

Varsinaisen ohjelmakoodin osalta tärkeimpinä kehityskohteina puolestaan pitäisin koodin uudelleenkäytettävyyden parantamista ja toimintojen luomista funktioihin ja luokkiin. Osaltaan kuitenkin verrattain vähäinen ohjelmointikokemus vaikutti siihen, että ohjelmakoodista tuli melko yksinkertaista ja aloittelijamaista. Aloittelijamaisuudesta johtuen myös virheiden käsittely koodissa on osittain puutteellista. Myöskään ohjelman laajamittaista testaamista ei pystytty toteuttamaan, joten ohjelmassa voi esiintyä suuria virheitä. Ohjelman testaamisen aikana havaittiin kaksi merkittävää ongelmaa:

- skandinaavisen merkistön tai erikoismerkkien käyttäminen tiedostonimissä kaataa ohjelman
- väliaikaisen rajaustason käyttäminen Shapefile-tiedoston sijasta kaataa ohjelman.

Ohjelman käyttöliittymän ja paremman käytettävyyden kannalta käyttöliittymään olisi hyvä lisätä myös käyttäjälle enemmän päätäntävaltaa siitä, mitä aineistolajeja halutaan noudettavan Kapsin palvelimelta ja mitä resoluutiota pintamallin luomisessa käytetään. Toisaalta käyttäjän voitaisiin myös antaa valita oma pintamalliaineisto.

Tämän kaltaisessa työssä haasteita oli myös työn rajaamisessa, sillä yhden henkilön ohjelmointityöksi työ olisi voinut kasvaa kohtuuttoman suureksi, sillä mallinusoheiden mukaisia kohteita olisi ollut vielä useita kymmeniä. Kokonaisuutena, puutteistakin huolimatta, työ on onnistunut, sillä se antoi varmuutta Python-ohjelmointikielen käyttöön paikkatietoaineistojen käsittelyssä ja työ osoittaa sen, että kaupunkimallintamisen automatisointi Python-ohjelmointikielellä Maanmittauslaitoksen avoimien aineistojen pohjalta on mahdollista.

## LÄHTEET

ASPRS 2008. LAS Specification v.1.2. Viitattu 18.8.2021 [https://www.asprs.org/a/society/committees/standards/asprs\\_las\\_format\\_v12.pdf](https://www.asprs.org/a/society/committees/standards/asprs_las_format_v12.pdf).

BuildingSMARTFinland 2016a. Kaupunkimallinnuksen ohjekirja. Viitattu 6.8.2021 <https://buildingsmart.fi/kaupunki/kaupunkimallinnuksen-ohjekirja/>.

Creative Commons. Nimeä 4.0 Kansainvälinen (CC BY 4.0). Viitattu 4.10.2021 <https://creativecommons.org/licenses/by/4.0/deed.fi>.

Free Software Foundation 1991. GNU General Public License Version 2. Viitattu 16.9.2021 <https://www.gnu.org/licenses/old-licenses/gpl-2.0.html>.

Free Software Foundation 2021. Various Licenses and Comments about Them. Viitattu 4.10 <https://www.gnu.org/licenses/license-list.en.html#ModifiedBSD>.

GDAL 2021a. GDAL Documentation. Programs. Viitattu 2.9.2021 [https://gdal.org/programs/gdal\\_merge.html](https://gdal.org/programs/gdal_merge.html).

GDAL 2021b. GDAL Documentation. GTiff – GeoTIFF file format. Viitattu 5.9.2021 <https://gdal.org/drivers/raster/gtiff.html#raster-gtiff>.

GRASS Development Team 2021. GRASS GIS 7.8.6dev Reference Manual. Viitattu 14.9.2021 <https://grass.osgeo.org/grass78/manuals/v.extrude.html>.

Haggrén, H. 2002 & Honkavaara, E. 2005. Ortokuvien tuottaminen. Luentomoniste. Viitattu 17.8.2021 [https://foto.aalto.fi/opetus/220/luennot/7/L7\\_2005.pdf](https://foto.aalto.fi/opetus/220/luennot/7/L7_2005.pdf).

JHS 197 v1.1 2016. EUREF-FIN -koordinaattijärjestelmät, niihin liittyvät muunnokset ja karttalehtijako. Viitattu 12.8.2021 <https://www.suomidigi.fi/sites/default/files/2020-07/JHS197.doc>.

JHS 210 v.1.0 2020. Paikkatietojen mallintaminen: rakennukset ja rakennelmat. Viitattu 12.8.2021 <https://www.suomidigi.fi/sites/default/files/2020-07/JHS210.doc>.

JHS 210 v.1.0 2020. Paikkatietojen mallintaminen: rakennukset ja rakennelmat: Liite 5: Geometrioiden muodostamisohjeet. Viitattu 12.8.2021 [https://www.suomidigi.fi/sites/default/files/2020-07/JHS210\\_liite5.doc](https://www.suomidigi.fi/sites/default/files/2020-07/JHS210_liite5.doc).

Jokela, S. 2017. QGIS kiinnostaa kaupunkeja. Positio 1/2017, 26–27. Viitattu 9.8.2021 [https://www.maanmittauslaitos.fi/sites/maanmittauslaitos.fi/files/attachments/2017/06/Positio\\_1\\_2017\\_0.pdf](https://www.maanmittauslaitos.fi/sites/maanmittauslaitos.fi/files/attachments/2017/06/Positio_1_2017_0.pdf).

Kapsi Internet-käyttäjät ry 2015. Kartat.kapsi.fi. Viitattu 9.8.2021 <https://kartat.kapsi.fi>.

Kukko, A. 2005. Laserkeilaimen valinta lähifotogrammetrisiin mittaustehtäviin. Fotogrammetrian erikoistyö. Viitattu 18.8. [https://foto.aalto.fi/opetus/290/julkaisut/Antero\\_Kukko/Laserkeilaimen\\_valinta\\_lahifotogrammetrisiin\\_mittauksiin.pdf](https://foto.aalto.fi/opetus/290/julkaisut/Antero_Kukko/Laserkeilaimen_valinta_lahifotogrammetrisiin_mittauksiin.pdf).

Laurila, P. 2012. Mittaus- ja kartoitustekniikan perusteet. 4. Uudistettu painos. Rovaniemi: Rovaniemen ammattikorkeakoulu. Sarja D. Nro 3. Viitattu 18.8.2021 <http://www.ramk.fi/loader.aspx?id=7fe99c68-3849-4fa8-a563-9327cf51ea79>.

Maanmittauslaitos 2019. Maastotietokohteiden luokitus. Viitattu 15.9.2021 [https://www.maanmittauslaitos.fi/sites/maanmittauslaitos.fi/files/attachments/2019/12/maastotietokanta\\_kohdemalli.xlsx](https://www.maanmittauslaitos.fi/sites/maanmittauslaitos.fi/files/attachments/2019/12/maastotietokanta_kohdemalli.xlsx).

Maanmittauslaitos 2020a. Rakennusten ja rakennelmien JHS 210 -suositus on julkaistu. Viitattu 9.8.2021 <https://www.maanmittauslaitos.fi/ajankohtaista/rakennusten-ja-rakennelmien-jhs-210-suositus-julkaistu>.

Maanmittauslaitos 2020b. Maastotietokannan sisältö teemoittain. Viitattu 18.8.2021 [https://www.maanmittauslaitos.fi/sites/maanmittauslaitos.fi/files/attachments/2020/06/Maastotietokannan%20sis%C3%A4ll%C3%B6n%20kuvaus%20teemoittain\\_p%C3%A4ivitys\\_2020.pdf](https://www.maanmittauslaitos.fi/sites/maanmittauslaitos.fi/files/attachments/2020/06/Maastotietokannan%20sis%C3%A4ll%C3%B6n%20kuvaus%20teemoittain_p%C3%A4ivitys_2020.pdf).

Maanmittauslaitos 2020c. Laserkeilausaineisto 0,5p. Viitattu 18.8.2021 <https://www.maanmittauslaitos.fi/kartat-ja-paikkatieto/asiantuntevalle-kayttajalle/tuotekuvaukset/laserkeilausaineisto-05-p>.

Maanmittauslaitos 2021a. Testiaineistoa saatavilla Maanmittauslaitoksen tuottamista rakennusten 3D-vektoreista. Viitattu 9.8.2021 <https://www.maanmittauslaitos.fi/ajankohtaista/testiaineistoa-saatavilla-maanmittauslaitoksen-tuottamista-rakennusten-3d-vektoreista>.

Maanmittauslaitos 2021b. Avoimien aineistojen tietopalvelu. Viitattu 9.8.2021 <https://www.maanmittauslaitos.fi/asioi-verkossa/avoimien-aineistojen-tiedostopalvelu#palvelun-sisalto>.

Maanmittauslaitos 2021c. Avoimien aineistojen tiedostopalvelu. Viitattu 10.8.2021 <https://tiedostopalvelu.maanmittauslaitos.fi/tp/kartta>.

Maanmittauslaitos 2021d. Maanmittauslaitoksen avoimen tietoaaineiston Nimeä CC 4.0 -lisenssi. Viitattu 11.8.2021 <https://www.maanmittauslaitos.fi/avoindatalisenssi-cc40>.

Marttila, E. 2019. Laserkeilauksen uusi aikakausi alkaa. Tietoa Maasta 4/2019, 12–13. Viitattu 6.8.2021 <https://www.maanmittauslaitos.fi/sites/maanmittauslaitos.fi/files/attachments/2020/01/Tietoa-Maasta-4-2019.pdf>.

Open Geospatial Consortium 2012. CityGML Specification, 14–15. Viitattu 9.8.2021 [https://portal.ogc.org/files/?artifact\\_id=47842](https://portal.ogc.org/files/?artifact_id=47842).

PDAL 2021a. PDAL documentation. Applications. Viitattu 10.9.2021 <https://pdal.io/apps/index.html>.

PDAL 2021b. PDAL documentation. Pipeline. Viitattu 10.9.2021 <https://pdal.io/apps/pipeline.html>.

- PDAL 2021c. PDAL documentation. Filters.Outlier Viitattu 11.9.2021 <https://pdal.io/stages/filters.outlier.htm>.
- PDAL 2021d. PDAL documentation. Writers.gdal. Viitattu 13.9.2021 <https://pdal.io/stages/writers.gdal.html#radius>.
- PDAL 2021e. PDAL documentation. Filters.Colorization Viitattu 13.9.2021 <https://pdal.io/stages/filters.colorization.html?highlight=colorization>.
- PDAL 2021f. PDAL License. Viitattu 4.10.2021 <https://pdal.io/copyright.html>.
- Python 2021a. Python 3.9.7 Documentation. Extending Python with C or C++. Viitattu 22.9.2021 <https://docs.python.org/3/extending/extending.html>.
- Python 2021b. Python Changelog 3.9.6. Viitattu 22.9.2021 <https://docs.python.org/release/3.9.6/whatsnew/changelog.html#changelog>.
- Python 2021c. Python documentation 3.9.7. HOWTO Fetch Internet Resources Using The urllib Package. Viitattu 5.9.2021 <https://docs.python.org/3/howto/urllib2.html>.
- QGIS 2021a. Changelog for QGIS 3.18. Viitattu 9.8.2021 <https://qgis.org/fin/site/forusers/visualchangelog318/index.html#changelog-for-qgis-3-18>.
- QGIS 2021b. PyQGIS testing developer cookbook. Viitattu 9.8.2021 <https://docs.qgis.org/testing/pdf/en/QGIS-testing-PyQGISDeveloperCookbook-en.pdf>.
- QGIS 2021c. QGIS User guide. Viitattu 2.9.2021 <https://docs.qgis.org/testing/pdf/en/QGIS-testing-DesktopUserGuide-en.pdf>.
- QGIS 2021d. QGIS Documentation. Configuring external applications. Viitattu 24.8.2021 [https://docs.qgis.org/testing/en/docs/user\\_manual/processing/3rdParty.html](https://docs.qgis.org/testing/en/docs/user_manual/processing/3rdParty.html).
- SIG3D Quality Working Group 2015. Opas 3D-esineiden mallintamiseen, Osa 2: Rakennusten mallintaminen (LoD1, LoD2 ja LoD3). Viitattu 6.8.2021 [https://buildingsmart.fi/wp-content/uploads/2016/11/VER\\_0.99\\_-\\_201311\\_SIG3D\\_Modeling\\_Guide\\_for\\_3D\\_Objects\\_Part\\_2.pdf](https://buildingsmart.fi/wp-content/uploads/2016/11/VER_0.99_-_201311_SIG3D_Modeling_Guide_for_3D_Objects_Part_2.pdf).
- Sirkiä, O., Ahonen, T., Ilves, R., Pyysalo, U., Ahokas, E & Oksanen, J. 2017. Kansallisen maastotietokannan laatumalli. Korkeusmallit. V.1.3. Viitattu 16.8.2021 [https://www.maanmittauslaitos.fi/sites/maanmittauslaitos.fi/files/attachments/2017/05/KMTK\\_korkeusmallit\\_laatukasikirja\\_2017-01-02.pdf](https://www.maanmittauslaitos.fi/sites/maanmittauslaitos.fi/files/attachments/2017/05/KMTK_korkeusmallit_laatukasikirja_2017-01-02.pdf).
- Zelle, J. 2004. Python programming: An introduction to computer science. Oregon: Franklin, Beedle & Associates Inc.

## LIITTEET

- Liite 1. Kaupunki\_mallintaja.py-lähdekoodi
- Liite 2. Ohjelman asennuskansio
- Liite 3. Esimerkki lokitiedostosta

```

1 # -*- coding: utf-8 -*-
2 """
3 /*****
4 Kaupunkimallintaja
5
6             A QGIS plugin
7 Lisäosa hakee rajatun alueen perusteella Kapsi ry:n palvelimelta Maanmittauslaitoksen avoimia aineistoja
8 (CC Nimeä 4.0 Lisenssi https://www.maanmittauslaitos.fi/avoindata-lisenssi-cc40) (Korkeusmalli,
9 Ortoilmakuva, Maastotietokanta & Pistepilvi) ja muodostaa haetuista aineistoista kaupunkimallin.
10 Generated by Plugin Builder: http://g-sherman.github.io/Qgis-Plugin-Builder/
11 -----
12
13     begin                : 2021-05-09
14     git sha               : $Format:%H$
15     copyright            : (C) 2021 by Ilari Issakainen
16     email                 :
17
18 *****/
19 /*****
20 *
21 * This program is free software; you can redistribute it and/or modify
22 * it under the terms of the GNU General Public License as published by
23 * the Free Software Foundation; either version 2 of the License, or
24 * (at your option) any later version.
25 *
26 *****/
27 """
28
29 from qgis.PyQt.QtCore import QSettings, QTranslator, QCoreApplication, QVariant
30 from qgis.PyQt.QtGui import QIcon
31 from qgis.PyQt.QtWidgets import QAction, QFileDialog
32 from qgis.core import
33     QgsProject, Qgs, QgsMapLayerProxyModel, QgsRasterLayer, QgsVectorLayer, QgsApplication, QgsProperty, QgsField, QgsExp
34     resson, QgsExpressionContext, QgsExpressionContextUtils, QgsCoordinateReferenceSystem
35 from qgis.utils import iface
36 from qgis.core.additions.edit import edit
37
38 # Initialize Qt resources from file resources.py
39 from .resources import *
40 # Import the code for the dialog
41 from .Kaupunki_mallintaja_dialog import KaupunkimallintajaDialog
42 import os.path
43 import os
44 import processing
45 import urllib
46 import json
47 import subprocess
48 import time
49
50 def resolve(name, basepath=None):
51     #This
52     if not basepath:
53         #function is
54         basepath = os.path.dirname(os.path.realpath(__file__))
55     #adapted from
56     return os.path.join(basepath, name)
57     #https://gis.stackexchange.com/questions/130027/getting-a-plugin-path-using-python-in-qgis
58
59 class Kaupunkimallintaja:
60     """QGIS Plugin Implementation."""
61
62     def __init__(self, iface):
63         """Constructor.
64
65         :param iface: An interface instance that will be passed to this class
66                       which provides the hook by which you can manipulate the QGIS
67                       application at run time.
68         :type iface: QgsInterface
69         """
70         # Save reference to the QGIS interface
71         self.iface = iface
72         # initialize plugin directory
73         self.plugin_dir = os.path.dirname(__file__)
74         # initialize locale
75         locale = QSettings().value('locale/userLocale')[0:2]
76         locale_path = os.path.join(
77             self.plugin_dir,
78             'i18n',
79             'Kaupunkimallintaja_{}.qm'.format(locale))
80
81         if os.path.exists(locale_path):
82             self.translator = QTranslator()
83             self.translator.load(locale_path)
84             QCoreApplication.installTranslator(self.translator)
85
86         # Declare instance attributes
87         self.actions = []
88         self.menu = self.tr(u'&Kaupunkimallintaja')
89
90         # Check if plugin was started the first time in current QGIS session
91         # Must be set in initGui() to survive plugin reloads
92         self.first_start = None
93
94     # noinspection PyMethodMayBeStatic
95     def tr(self, message):
96         """Get the translation for a string using Qt translation API.

```

```

86
87     We implement this ourselves since we do not inherit QObject.
88
89     :param message: String for translation.
90     :type message: str, QString
91
92     :returns: Translated version of message.
93     :rtype: QString
94     """
95     # noinspection PyTypeChecker,PyArgumentList,PyCallByClass
96     return QCoreApplication.translate('Kaupunkimallintaja', message)
97
98
99 def add_action(
100     self,
101     icon_path,
102     text,
103     callback,
104     enabled_flag=True,
105     add_to_menu=True,
106     add_to_toolbar=True,
107     status_tip=None,
108     whats_this=None,
109     parent=None):
110     """Add a toolbar icon to the toolbar.
111
112     :param icon_path: Path to the icon for this action. Can be a resource
113         path (e.g. ':/plugins/foo/bar.png') or a normal file system path.
114     :type icon_path: str
115
116     :param text: Text that should be shown in menu items for this action.
117     :type text: str
118
119     :param callback: Function to be called when the action is triggered.
120     :type callback: function
121
122     :param enabled_flag: A flag indicating if the action should be enabled
123         by default. Defaults to True.
124     :type enabled_flag: bool
125
126     :param add_to_menu: Flag indicating whether the action should also
127         be added to the menu. Defaults to True.
128     :type add_to_menu: bool
129
130     :param add_to_toolbar: Flag indicating whether the action should also
131         be added to the toolbar. Defaults to True.
132     :type add_to_toolbar: bool
133
134     :param status_tip: Optional text to show in a popup when mouse pointer
135         hovers over the action.
136     :type status_tip: str
137
138     :param parent: Parent widget for the new action. Defaults None.
139     :type parent: QWidget
140
141     :param whats_this: Optional text to show in the status bar when the
142         mouse pointer hovers over the action.
143
144     :returns: The action that was created. Note that the action is also
145         added to self.actions list.
146     :rtype: QAction
147     """
148
149     icon = QIcon(icon_path)
150     action = QAction(icon, text, parent)
151     action.triggered.connect(callback)
152     action.setEnabled(enabled_flag)
153
154     if status_tip is not None:
155         action.setStatusTip(status_tip)
156
157     if whats_this is not None:
158         action.setWhatsThis(whats_this)
159
160     if add_to_toolbar:
161         # Adds plugin icon to Plugins toolbar
162         self.iface.addToolBarIcon(action)
163
164     if add_to_menu:
165         self.iface.addPluginToMenu(
166             self.menu,
167             action)
168
169     self.actions.append(action)
170
171     return action
172
173 def initGui(self):
174     """Create the menu entries and toolbar icons inside the QGIS GUI."""
175

```

```

176     icon path = './plugins/Kaupunki_mallintaja/icon.png'
177     self.add action(
178         icon path,
179         text=self.tr(u'Kaupunkimallintaja'),
180         callback=self.run,
181         parent=self.iface.mainWindow())
182
183     # will be set False in run()
184     self.first_start = True
185
186
187 def unload(self):
188     """Removes the plugin menu item and icon from QGIS GUI."""
189     for action in self.actions:
190         self.iface.removePluginMenu(
191             self.tr(u'Kaupunkimallintaja'),
192             action)
193         self.iface.removeToolBarIcon(action)
194
195
196 def select_output_dir(self):
197     outputdir = str(QFileDialog.getExistingDirectory(
198         self.dlg, "Select output directory"))
199     self.dlg.lineEdit.setText(outputdir)
200
201
202 def run(self):
203     """Run method that performs all the real work"""
204
205     # Create the dialog with elements (after translation) and keep reference
206     # Only create GUI ONCE in callback, so that it will only load when the plugin is started
207     if self.first_start == True:
208         self.first_start = False
209         self.dlg = KaupunkimallintajaDialog()
210         self.dlg.pushButton.clicked.connect(self.select_output_dir)
211
212     self.dlg mMapLayerComboBox.setFilters(QgsMapLayerProxyModel.PolygonLayer)
213
214
215     # show the dialog
216     self.dlg.show()
217     # Run the dialog event loop
218     result = self.dlg.exec_()
219     # See if OK was pressed
220     if result:
221         # Do something useful here - delete the line containing pass and
222         # substitute with your code.
223         outputdirbase = self.dlg.lineEdit.text()
224         #outputdirname = os.path.basename(outputdir)
225
226
227     def rmvLyr(lyrname):
228         qinst = QgsProject.instance()
229
230         qinst.removeMapLayer(qinst.mapLayersByName(lyrname)[0].id())#https://gis.stackexchange.com/que
231         stions/306615/pyqgis-remove-layer-from-legend
232
233     #INPUTS: Valittu taso ja pluginin kansiossa oleva karttalehtijako.
234     #Tehdään myös eri kansiot per monikulmio, joka mahdollistaa laajemman alueen
235     #mallintamisen osissa
236
237     selectedLayer = self.dlg.mMapLayerComboBox.currentLayer()
238
239     featIDs=[]
240     for feature in selectedLayer.getFeatures():
241         featIDs.append(feature.id())
242
243     for fts in featIDs:
244         outputdir = outputdirbase + '/' + str(fts + 1)
245         os.mkdir(outputdir)
246
247         outputdirname = os.path.basename(outputdir)
248
249         ppoutputdir = outputdir + '/Pistepilvi'
250         os.mkdir(ppoutputdir)
251
252         selectedLayer.setSubsetString("fid=" + str(fts))
253         iface.mapCanvas().refresh()
254
255         karttalehtijako=resolve('utm10.shp')
256
257         #####
258         ##### PROSESSOINTI #####
259         #####
260
261         #####
262         ##### VAIHE 1: KORKEUSMALLIEN HAKU JA PROSESSOINTI
263         #####
264
265         #Karttalehdetattribuutteihin
266         lehtitunnukset = processing.run("native:joinattributesbylocation", {'INPUT':selectedLayer,

```

```

264 'JOIN':karttalehtijako,
265 'PREDICATE':[1,2,4,5],
266 'JOIN_FIELDS':['LEHTITUNNU'],
267 'METHOD':0,'DISCARD_NONMATCHING':False,
268 'PREFIX':'',
269 'OUTPUT':'TEMPORARY_OUTPUT'})
270
271 #Tee lista karttalehtien osoitteista ja nouda karttalehdet kapsin palvelimelta
272 vlayer = lehtitunnukset['OUTPUT']
273
274 osoitteet=[]
275 karttalehdet=[]
276 raportinOsoitteet=[]
277 for feature in vlayer.getFeatures():
278     lehtil = feature["LEHTITUNNU"]
279     l1 = lehtil[0:2] + '/'
280     le1=lehtil[0:3] + '/'
281     uril ='http://kartat.kapsi.fi/files/korkeusmalli/hila_2m/etrs-tm35fin-n2000/' +l1 + le1
282     + lehtil + '.tif'
283
284 #Testataan löytyykö tiedosto palvelimelta
285 if not urllib.request.urlopen (uril).code == 200:
286
287     self.iface.messageBar().pushMessage('Error','Haku kapsin palvelimelta ei onnistunut!
288     Näyttää siltä, että haluttua tasoa ' + uril + ' ei löytynyt.', level=Qgis.Critical,
289     duration=20)
290
291     raise NameError('Tiedostoa ei löydy')
292
293 else:
294
295     processing.run("native:filedownloader", {'URL':uril,
296     'OUTPUT':outputdir + '/' + lehtil + '.tif' })
297
298 #Testataan onko tiedosto viallinen tai 0 kilotavua
299 rlayer = QgsRasterLayer(outputdir + '/' + lehtil + '.tif',lehtil,'gdal')
300 if not rlayer.isValid():
301     self.iface.messageBar().pushMessage('Error','Haku kapsin palvelimelta ei
302     onnistunut! Näyttää siltä, että haluttu taso ' + uril + ' oli viallinen.',
303     level=Qgis.Critical, duration=20)
304
305     raise NameError('Haluttu taso oli viallinen')
306
307 #Muutoin hyväksytään ja jatketaan
308 else:
309
310     QgsProject.instance().addMapLayer(rlayer)
311     QgsProject.instance().removeMapLayer(rlayer.id())
312     osoitteet.append(outputdir + '/' + lehtil + '.tif')
313     raportinOsoitteet.append(uril)
314     karttalehdet.append(lehtil)
315
316 #Yhdistäminen
317 yhdistettyOutput = processing.run("gdal:merge", {'INPUT':osoitteet,
318     'PCT':False,
319     'SEPARATE':False,
320     'NODATA_INPUT':None,
321     'NODATA_OUTPUT':None,
322     'OPTIONS':'',
323     'EXTRA':'',
324     'DATA_TYPE':5,
325     'OUTPUT':'TEMPORARY_OUTPUT'})
326
327 #leikkaus
328 clipped = processing.run("gdal:cliprasterbymasklayer", {'INPUT':yhdistettyOutput['OUTPUT'],
329     'MASK':selectedLayer,
330     'SOURCE_CRS':None,
331     'TARGET_CRS':None,
332     'NODATA':0,
333     'ALPHA_BAND':False,
334     'CROP_TO_CUTLINE':True,
335     'KEEP_RESOLUTION':False,
336     'SET_RESOLUTION':False,
337     'X_RESOLUTION':None,
338     'Y_RESOLUTION':None,
339     'MULTITHREADING':False,
340     'OPTIONS':'',
341     'DATA_TYPE':0,
342     'EXTRA':'',
343     'OUTPUT':'TEMPORARY_OUTPUT'})
344
345 clippedGPKG = processing.run("gdal:translate", {'INPUT':clipped['OUTPUT'],
346     'TARGET_CRS':None,
347     'NODATA':0,
348     'COPY_SUBDATASETS':False,
349     'OPTIONS':'',
350     'EXTRA':'',
351     'DATA_TYPE':0,

```

```

349         'OUTPUT':outputdir + '/Korkeusmalli.gpkg'}}
350
351     rajattu=iface.addRasterLayer(clippedGPKG['OUTPUT'], outputdirname + ' Korkeusmalli','gdal')
352
353     rasterDataProvider = rajattu.dataProvider()
354
355     rasterDataProvider.setNoDataValue(1, 0) #eka viittaa kaistanumeroon
356
357     rajattu.triggerRepaint()
358
359     #Poistetaan ylimääräiset tiedostot koneelta
360
361     for item in osoitteet:
362         if os.path.isfile(item):
363             try:
364                 os.remove(item)
365             except:
366                 pass
367
368
369
370     #####
371     ### VAIHE 2: ORTOILMAKUVIEN HAKU JA PROSESSOINTI
372
373     #Haetaan tarvittavat lehtitunnukset
374
375     orto_karttalehdet =[]
376
377     for feature in vlayer.getFeatures():
378         lehti1 = feature["LEHTITUNNU"]
379
380         orto_karttalehdet.append(lehti1)
381
382     Orto_raportinOsoitteet=[]
383     koneen_osoitteet=[]
384     cropatut_osoitteet=[]
385
386     #Testataan Kapsin palvelimelta mistä kansioista tiedostot löytyy
387
388     for lehti in orto_karttalehdet:
389         karttalehtikansio = '/' + lehti[0:3]
390
391         #Kapsin palvelimella jaotellaan tiedostot vuosiluvun mukaan kansioihin. #Haetaan
392         vuosilta 2006-2039.
393
394         vuodet = []
395         for i in range(2006,2039):
396             vuodet.append(i)
397
398         for item in vuodet:
399             item_str=str(item)
400
401         #Kapsin palvelimella jaotellaan myös tiedostot kansioihin, SMK, MARA ja MAVI, testataan
402         mistä löytyy tiedosto
403
404         #SMK:T
405         try:
406             if urllib.request.urlopen
407                 ('http://kartat.kapsi.fi/files/orto/etrs-tm35fin/smk_v_15000_50/' + item_str +
408                 karttalehtikansio + '/02m/1/' + lehti + '.jp2').code == 200:
409                 oikea_osoite =
410                     ('http://kartat.kapsi.fi/files/orto/etrs-tm35fin/smk_v_15000_50/' + item_str
411                     + karttalehtikansio + '/02m/1/' + lehti + '.jp2')
412         except:
413             try:
414                 if urllib.request.urlopen
415                     ('http://kartat.kapsi.fi/files/orto/etrs-tm35fin/smk_v_15000_50/' + item_str
416                     + karttalehtikansio + '/10m/1/' + lehti + '.jp2').code == 200:
417                     oikea_osoite =
418                         ('http://kartat.kapsi.fi/files/orto/etrs-tm35fin/smk_v_15000_50/' +
419                         item_str + karttalehtikansio + '/10m/1/' + lehti + '.jp2')
420             except:
421
422                 #MARA
423                 try:
424                     if urllib.request.urlopen
425                         ('http://kartat.kapsi.fi/files/orto/etrs-tm35fin/mara_v_25000_50/' +
426                         item_str + karttalehtikansio + '/02m/1/' + lehti + '.jp2').code == 200:
427                         oikea_osoite =
428                             ('http://kartat.kapsi.fi/files/orto/etrs-tm35fin/mara_v_25000_50/' +
429                             item_str + karttalehtikansio + '/02m/1/' + lehti + '.jp2')
430                     except:
431                         try:
432                             if urllib.request.urlopen
433                                 ('http://kartat.kapsi.fi/files/orto/etrs-tm35fin/mara_v_25000_50/' +
434                                 item_str + karttalehtikansio + '/10m/1/' + lehti + '.jp2').code ==
435                                 200:
436                                 oikea_osoite =
437                                     ('http://kartat.kapsi.fi/files/orto/etrs-tm35fin/mara_v_25000_50/'
438                                     + item_str + karttalehtikansio + '/10m/1/' + lehti + '.jp2')

```



```

492         'OUTPUT':outputdir + '/' + outputdirname + '
Ortoilmakuva.tif'})
493
494 #tehdään varsinainen orto gpkg tiedostoksi
495 resultortogpkg = processing.run("gdal:translate", {'INPUT':vrt['OUTPUT'],
496         'TARGET_CRS':None,
497         'NODATA':0,
498         'COPY_SUBDATASETS':False,
499         'OPTIONS':'',
500         'EXTRA':'',
501         'DATA_TYPE':0,
502         'OUTPUT':outputdir + '/Ortoilmakuva.gpkg'})
503
504 #Luetaan varsinainen yhdistetty ja rajattu orto kartalle
505
506 ortogpkg = iface.addRasterLayer(resultortogpkg['OUTPUT'],outputdirname + '
Ortoilmakuva','gdal')
507
508 #Additional nodata value 0, koska gpkg ei tue suoraan nodata valueta
509
510 rasterDataProvider = ortogpkg.dataProvider()
511
512 rasterDataProvider.setNoDataValue(1, 0) #eka viittaa kaistan numeroon
513
514 ortogpkg.triggerRepaint()
515
516 #Poistetaan väliaikaiset tiedostot koneelta
517
518 for item in koneen_osoitteet:
519     if os.path.isfile(item):
520         try:
521             os.remove(item)
522         except:
523             pass
524
525 for item in crotatut_osoitteet:
526     if os.path.isfile(item):
527         try:
528             os.remove(item)
529         except:
530             pass
531
532 #####
533 ### VAIHE 3: MAASTOTIETOKANNAN HAKU JA PROSESSOINTI
534
535 MTK_karttalehtijako = resolve('utm25LR.shp')
536
537 #Karttalehdetattribuutteihin
538 MTK_lehtitunnukset = processing.run("native:joinattributesbylocation", {'INPUT':selectedLayer,
539         'JOIN':MTK_karttalehtijako,
540         'PREDICATE':[1,2,4,5],
541         'JOIN_FIELDS':['LEHTITUNNU'],
542         'METHOD':0,'DISCARD_NONMATCHING':False,
543         'PREFIX':'',
544         'OUTPUT':'TEMPORARY_OUTPUT'})
545
546 #Tee lista karttalehtien osoitteista ja nouda karttalehdet kapsin palvelimelta
547 MTK_vlayer = MTK_lehtitunnukset['OUTPUT']
548
549 MTK_tiedostot=[]
550 MTK_karttalehdet=[]
551 MTK_raportinOsoitteet=[]
552
553 MTKjohto_tiedostot=[]
554 MTKjohto_karttalehdet=[]
555
556 MTKpylvaat_tiedostot = []
557 MTKpylvaat_karttalehdet = []
558
559 MTKrakenteet_tiedostot = []
560 MTKrakenteet_karttalehdet = []
561
562 for feature in MTK_vlayer.getFeatures():
563     lehtil = feature["LEHTITUNNU"]
564     l1 = lehtil[0:2] + '/'
565     le1=lehtil[0:3] + '/'
566     zip_base = '/vsicurl/http://kartat.kapsi.fi/files/maastotietokanta/kaikki/etrs89/shp/'
567     MTK_raportinOsoite='http://kartat.kapsi.fi/files/maastotietokanta/kaikki/etrs89/shp/'
568     +l1 + le1 + lehtil + '.shp.zip'
569     +l1 + le1 + lehtil + '.shp.zip'
570
571     #Rakennukset
572     tiedostonimi = ('r_' + lehtil + '_p')
573     shp_path = zip_base + '|layername=' + tiedostonimi
574     vl = iface.addVectorLayer(shp_path,tiedostonimi,'ogr')
575
576     MTK_tiedostot.append(shp_path)
577     MTK_karttalehdet.append(tiedostonimi)
578     MTK_raportinOsoitteet.append(MTK_raportinOsoite)
579

```

```

578         #Johdot
579         tiedostonimiJohdot = ('j ' + lehti1 + ' v')
580         shp_path = zip_base + '|layername=' + tiedostonimiJohdot
581         vl = iface.addVectorLayer(shp_path,tiedostonimiJohdot,'ogr')
582
583         MTKjohto_tiedostot.append(shp_path)
584         MTK_karttalehdet.append(tiedostonimiJohdot)
585
586         #Pylväät
587         tiedostonimiPylvaat = ('j_' + lehti1 + '_s')
588         shp_path = zip_base + '|layername=' + tiedostonimiPylvaat
589         vl = iface.addVectorLayer(shp_path,tiedostonimiPylvaat,'ogr')
590
591         MTKpylvaat_tiedostot.append(shp_path)
592         MTK_karttalehdet.append(tiedostonimiPylvaat)
593
594         #Rakenteet
595         tiedostonimiRakenteet = ('r ' + lehti1 + '_s')
596         shp_path = zip_base + '|layername=' + tiedostonimiRakenteet
597         vl = iface.addVectorLayer(shp_path,tiedostonimiRakenteet,'ogr')
598
599         MTKrakenteet_tiedostot.append(shp_path)
600         MTK_karttalehdet.append(tiedostonimiRakenteet)
601
602         ##### Rakennukset #####
603
604         #Yhdistäminen MTK
605
606         MTK_yhdistetty = processing.run("native:mergevectorlayers", {'LAYERS':MTK_tiedostot,
607
608
609
610
611
612
613
614
615
616
617
618
619
620
621
622
623
624
625
626
627
628
629
630
631
632
633
634
635
636
637
638
639
640
641
642
643
644
645
646
647
648
649
650
651
652
653
654
655
656
657
658
659
660
661
662
663
664
665
666
667
668
669
670
671
672
673
674
675
676
677
678
679
680
681
682
683
684
685
686
687
688
689
690
691
692
693
694
695
696
697
698
699
700
701
702
703
704
705
706
707
708
709
710
711
712
713
714
715
716
717
718
719
720
721
722
723
724
725
726
727
728
729
730
731
732
733
734
735
736
737
738
739
740
741
742
743
744
745
746
747
748
749
750
751
752
753
754
755
756
757
758
759
760
761
762
763
764
765
766
767
768
769
770
771
772
773
774
775
776
777
778
779
780
781
782
783
784
785
786
787
788
789
790
791
792
793
794
795
796
797
798
799
800
801
802
803
804
805
806
807
808
809
810
811
812
813
814
815
816
817
818
819
820
821
822
823
824
825
826
827
828
829
830
831
832
833
834
835
836
837
838
839
840
841
842
843
844
845
846
847
848
849
850
851
852
853
854
855
856
857
858
859
860
861
862
863
864
865
866
867
868
869
870
871
872
873
874
875
876
877
878
879
880
881
882
883
884
885
886
887
888
889
890
891
892
893
894
895
896
897
898
899
900
901
902
903
904
905
906
907
908
909
910
911
912
913
914
915
916
917
918
919
920
921
922
923
924
925
926
927
928
929
930
931
932
933
934
935
936
937
938
939
940
941
942
943
944
945
946
947
948
949
950
951
952
953
954
955
956
957
958
959
960
961
962
963
964
965
966
967
968
969
970
971
972
973
974
975
976
977
978
979
980
981
982
983
984
985
986
987
988
989
990
991
992
993
994
995
996
997
998
999
1000
1001
1002
1003
1004
1005
1006
1007
1008
1009
1010
1011
1012
1013
1014
1015
1016
1017
1018
1019
1020
1021
1022
1023
1024
1025
1026
1027
1028
1029
1030
1031
1032
1033
1034
1035
1036
1037
1038
1039
1040
1041
1042
1043
1044
1045
1046
1047
1048
1049
1050
1051
1052
1053
1054
1055
1056
1057
1058
1059
1060
1061
1062
1063
1064
1065
1066
1067
1068
1069
1070
1071
1072
1073
1074
1075
1076
1077
1078
1079
1080
1081
1082
1083
1084
1085
1086
1087
1088
1089
1090
1091
1092
1093
1094
1095
1096
1097
1098
1099
1100
1101
1102
1103
1104
1105
1106
1107
1108
1109
1110
1111
1112
1113
1114
1115
1116
1117
1118
1119
1120
1121
1122
1123
1124
1125
1126
1127
1128
1129
1130
1131
1132
1133
1134
1135
1136
1137
1138
1139
1140
1141
1142
1143
1144
1145
1146
1147
1148
1149
1150
1151
1152
1153
1154
1155
1156
1157
1158
1159
1160
1161
1162
1163
1164
1165
1166
1167
1168
1169
1170
1171
1172
1173
1174
1175
1176
1177
1178
1179
1180
1181
1182
1183
1184
1185
1186
1187
1188
1189
1190
1191
1192
1193
1194
1195
1196
1197
1198
1199
1200
1201
1202
1203
1204
1205
1206
1207
1208
1209
1210
1211
1212
1213
1214
1215
1216
1217
1218
1219
1220
1221
1222
1223
1224
1225
1226
1227
1228
1229
1230
1231
1232
1233
1234
1235
1236
1237
1238
1239
1240
1241
1242
1243
1244
1245
1246
1247
1248
1249
1250
1251
1252
1253
1254
1255
1256
1257
1258
1259
1260
1261
1262
1263
1264
1265
1266
1267
1268
1269
1270
1271
1272
1273
1274
1275
1276
1277
1278
1279
1280
1281
1282
1283
1284
1285
1286
1287
1288
1289
1290
1291
1292
1293
1294
1295
1296
1297
1298
1299
1300
1301
1302
1303
1304
1305
1306
1307
1308
1309
1310
1311
1312
1313
1314
1315
1316
1317
1318
1319
1320
1321
1322
1323
1324
1325
1326
1327
1328
1329
1330
1331
1332
1333
1334
1335
1336
1337
1338
1339
1340
1341
1342
1343
1344
1345
1346
1347
1348
1349
1350
1351
1352
1353
1354
1355
1356
1357
1358
1359
1360
1361
1362
1363
1364
1365
1366
1367
1368
1369
1370
1371
1372
1373
1374
1375
1376
1377
1378
1379
1380
1381
1382
1383
1384
1385
1386
1387
1388
1389
1390
1391
1392
1393
1394
1395
1396
1397
1398
1399
1400
1401
1402
1403
1404
1405
1406
1407
1408
1409
1410
1411
1412
1413
1414
1415
1416
1417
1418
1419
1420
1421
1422
1423
1424
1425
1426
1427
1428
1429
1430
1431
1432
1433
1434
1435
1436
1437
1438
1439
1440
1441
1442
1443
1444
1445
1446
1447
1448
1449
1450
1451
1452
1453
1454
1455
1456
1457
1458
1459
1460
1461
1462
1463
1464
1465
1466
1467
1468
1469
1470
1471
1472
1473
1474
1475
1476
1477
1478
1479
1480
1481
1482
1483
1484
1485
1486
1487
1488
1489
1490
1491
1492
1493
1494
1495
1496
1497
1498
1499
1500
1501
1502
1503
1504
1505
1506
1507
1508
1509
1510
1511
1512
1513
1514
1515
1516
1517
1518
1519
1520
1521
1522
1523
1524
1525
1526
1527
1528
1529
1530
1531
1532
1533
1534
1535
1536
1537
1538
1539
1540
1541
1542
1543
1544
1545
1546
1547
1548
1549
1550
1551
1552
1553
1554
1555
1556
1557
1558
1559
1560
1561
1562
1563
1564
1565
1566
1567
1568
1569
1570
1571
1572
1573
1574
1575
1576
1577
1578
1579
1580
1581
1582
1583
1584
1585
1586
1587
1588
1589
1590
1591
1592
1593
1594
1595
1596
1597
1598
1599
1600
1601
1602
1603
1604
1605
1606
1607
1608
1609
1610
1611
1612
1613
1614
1615
1616
1617
1618
1619
1620
1621
1622
1623
1624
1625
1626
1627
1628
1629
1630
1631
1632
1633
1634
1635
1636
1637
1638
1639
1640
1641
1642
1643
1644
1645
1646
1647
1648
1649
1650
1651
1652
1653
1654
1655
1656
1657
1658
1659
1660
1661
1662
1663
1664
1665
1666
1667
1668
1669
1670
1671
1672
1673
1674
1675
1676
1677
1678
1679
1680
1681
1682
1683
1684
1685
1686
1687
1688
1689
1690
1691
1692
1693
1694
1695
1696
1697
1698
1699
1700
1701
1702
1703
1704
1705
1706
1707
1708
1709
1710
1711
1712
1713
1714
1715
1716
1717
1718
1719
1720
1721
1722
1723
1724
1725
1726
1727
1728
1729
1730
1731
1732
1733
1734
1735
1736
1737
1738
1739
1740
1741
1742
1743
1744
1745
1746
1747
1748
1749
1750
1751
1752
1753
1754
1755
1756
1757
1758
1759
1760
1761
1762
1763
1764
1765
1766
1767
1768
1769
1770
1771
1772
1773
1774
1775
1776
1777
1778
1779
1780
1781
1782
1783
1784
1785
1786
1787
1788
1789
1790
1791
1792
1793
1794
1795
1796
1797
1798
1799
1800
1801
1802
1803
1804
1805
1806
1807
1808
1809
1810
1811
1812
1813
1814
1815
1816
1817
1818
1819
1820
1821
1822
1823
1824
1825
1826
1827
1828
1829
1830
1831
1832
1833
1834
1835
1836
1837
1838
1839
1840
1841
1842
1843
1844
1845
1846
1847
1848
1849
1850
1851
1852
1853
1854
1855
1856
1857
1858
1859
1860
1861
1862
1863
1864
1865
1866
1867
1868
1869
1870
1871
1872
1873
1874
1875
1876
1877
1878
1879
1880
1881
1882
1883
1884
1885
1886
1887
1888
1889
1890
1891
1892
1893
1894
1895
1896
1897
1898
1899
1900
1901
1902
1903
1904
1905
1906
1907
1908
1909
1910
1911
1912
1913
1914
1915
1916
1917
1918
1919
1920
1921
1922
1923
1924
1925
1926
1927
1928
1929
1930
1931
1932
1933
1934
1935
1936
1937
1938
1939
1940
1941
1942
1943
1944
1945
1946
1947
1948
1949
1950
1951
1952
1953
1954
1955
1956
1957
1958
1959
1960
1961
1962
1963
1964
1965
1966
1967
1968
1969
1970
1971
1972
1973
1974
1975
1976
1977
1978
1979
1980
1981
1982
1983
1984
1985
1986
1987
1988
1989
1990
1991
1992
1993
1994
1995
1996
1997
1998
1999
2000
2001
2002
2003
2004
2005
2006
2007
2008
2009
2010
2011
2012
2013
2014
2015
2016
2017
2018
2019
2020
2021
2022
2023
2024
2025
2026
2027
2028
2029
2030
2031
2032
2033
2034
2035
2036
2037
2038
2039
2040
2041
2042
2043
2044
2045
2046
2047
2048
2049
2050
2051
2052
2053
2054
2055
2056
2057
2058
2059
2060
2061
2062
2063
2064
2065
2066
2067
2068
2069
2070
2071
2072
2073
2074
2075
2076
2077
2078
2079
2080
2081
2082
2083
2084
2085
2086
2087
2088
2089
2090
2091
2092
2093
2094
2095
2096
2097
2098
2099
2100
2101
2102
2103
2104
2105
2106
2107
2108
2109
2110
2111
2112
2113
2114
2115
2116
2117
2118
2119
2120
2121
2122
2123
2124
2125
2126
2127
2128
2129
2130
2131
2132
2133
2134
2135
2136
2137
2138
2139
2140
2141
2142
2143
2144
2145
2146
2147
2148
2149
2150
2151
2152
2153
2154
2155
2156
2157
2158
2159
2160
2161
2162
2163
2164
2165
2166
2167
2168
2169
2170
2171
2172
2173
2174
2175
2176
2177
2178
2179
2180
2181
2182
2183
2184
2185
2186
2187
2188
2189
2190
2191
2192
2193
2194
2195
2196
2197
2198
2199
2200
2201
2202
2203
2204
2205
2206
2207
2208
2209
2210
2211
2212
2213
2214
2215
2216
2217
2218
2219
2220
2221
2222
2223
2224
2225
2226
2227
2228
2229
2230
2231
2232
2233
2234
2235
2236
2237
2238
2239
2240
2241
2242
2243
2244
2245
2246
2247
2248
2249
2250
2251
2252
2253
2254
2255
2256
2257
2258
2259
2260
2261
2262
2263
2264
2265
2266
2267
2268
2269
2270
2271
2272
2273
2274
2275
2276
2277
2278
2279
2280
2281
2282
2283
2284
2285
2286
2287
2288
2289
2290
2291
2292
2293
2294
2295
2296
2297
2298
2299
2300
2301
2302
2303
2304
2305
2306
2307
2308
2309
2310
2311
2312
2313
2314
2315
2316
2317
2318
2319
2320
2321
2322
2323
2324
2325
2326
2327
2328
2329
2330
2331
2332
2333
2334
2335
2336
2337
2338
2339
2340
2341
2342
2343
2344
2345
2346
2347
2348
2349
2350
2351
2352
2353
2354
2355
2356
2357
2358
2359
2360
2361
2362
2363
2364
2365
2366
2367
2368
2369
2370
2371
2372
2373
2374
2375
2376
2377
2378
2379
2380
2381
2382
2383
2384
2385
2386
2387
2388
2389
2390
2391
2392
2393
2394
2395
2396
2397
2398
2399
2400
2401
2402
2403
2404
2405
2406
2407
2408
2409
2410
2411
2412
2413
2414
2415
2416
2417
2418
2419
2420
2421
2422
2423
2424
2425
2426
2427
2428
2429
2430
2431
2432
2433
2434
2435
2436
2437
2438
2439
2440
2441
2442
2443
2444
2445
2446
2447
2448
2449
2450
2451
2452
2453
2454
2455
2456
2457
2458
2459
2460
2461
2462
2463
2464
2465
2466
2467
2468
2469
2470
2471
2472
2473
2474
2475
2476
2477
2478
2479
2480
2481
2482
2483
2484
2485
2486
2487
2488
2489
2490
2491
2492
2493
2494
2495
2496
2497
2498
2499
2500
2501
2502
2503
2504
2505
2506
2507
2508
2509
2510
2511
2512
2513
2514
2515
2516
2517
2518
2519
2520
2521
2522
2523
2524
2525
2526
2527
2528
2529
2530
2531
2532
2533
2534
2535
2536
2537
2538
2539
2540
2541
2542
2543
2544
2545
2546
2547
2548
2549
2550
2551
2552
2553
2554
2555
2556
2557
2558
2559
2560
2561
2562
2563
2564
2565
2566
2567
2568
2569
2570
2571
2572
2573
2574
2575
2576
2577
2578
2579
2580
2581
2582
2583
2584
2585
2586
2587
2588
2589
2590
2591
2592
2593
2594
2595
2596
2597
2598
2599
2600
2601
2602
2603
2604
2605
2606
2607
2608
2609
2610
2611
2612
2613
2614
2615
2616
2617
2618
2619
2620
2621
2622
2623
2624
2625
2626
2627
2628
2629
2630
2631
2632
2633
2634
2635
2636
2637
2638
2639
2640
2641
2642
2643
2644
2645
2646
2647
2648
2649
2650
2651
2652
2653
2654
2655
2656
2657
2658
2659
2660
2661
2662
2663
2664
2665
2666
2667
2668
2669
2670
2671
2672
2673
2674
2675
2676
2677
2678
2679
2680
2681
2682
2683
2684
2685
2686
2687
2688
2689
2690
2691
2692
2693
2694
2695
2696
2697
2698
2699
2700
2701
2702
2703
2704
2705
2706
2707
2708
2709
2710
2711
2712
2713
2714
2715
2716
2717
2718
2719
2720
2721
2722
2723
2724
2725
2726
2727
2728
2729
2730
2731
2732
2733
2734
2735
2736
2737
2738
2739
2740
2741
2742
2743
2744
2745
2746
2747
2748
2749
2750
2751
2752
2753
2754
2755
2756
2757
2758
2759
2760
2761
2762
2763
2764
2765
2766
2767
2768
2769
2770
2771
2772
2773
2774
2775
2776
2777
2778
2779
2780
2781
2782
2783
2784
2785
2786
2787
2788
2789
2790
2791
2792
2793
2794
2795
2796
2797
2798
2799
2800
2801
2802
2803
2804
2805
2806
2807
2808
2809
2810
2811
2812
2813
2814
2815
2816
2817
2818
2819
2820
2821
2822
2823
2824
2825
2826
2827
2828
2829
2830
2831
2832
2833
2834
2835
2836
2837
2838
2839
2840
2841
2842
2843
2844
2845
2846
2847
2848
2849
2850
2851
2852
2853
2854
2855
2856
2857
2858
2859
2860
2861
2862
2863
2864
2865
2866
2867
2868
2869
2870
2871
2872
2873
2874
2875
2876
2877
2878
2879
2880
2881
2882
2883
2884
2885
2886
2887
2888
2889
2890
2891
2892
2893
2894
2895
2896
2897
2898
2899
2900
2901
2902
2903
2904
2905
2906
2907
2908
2909
2910
2911
2912
2913
2914
2915
2916
2917
2918
2919
2920
2921
2922
2923
2924
2925
2926
2927
2928
2929
2930
2931
2932
2933
2934
2935
2936
2937
2938
2939
2940
2941
2942
2943
2944
2945
2946
2947
2948
2949
2950
2951
2952
2953
2954
2955
2956
2957
2958
2959
2960
2961
2962
2963
2964
2965
2966
2967
2968
2969
2970
2971
2972
2973
2974
2975
2976
2977
2978
2979
2980
2981
2982
2983
2984
2985
2986
2987
2988
2989
2990
2991
2992
2993
2994
2995
2996
2997
2998
2999
3000
3001
3002
3003
3004
3005
3006
3007
3008
3009
3010
3011
3012
3013
3014
3015
3016
3017
3018
3019
3020
3021
3022
3023
3024
3025
3026
3027
3028
3029
3030
3031
3032
3033
3034
3035
3036
3037
3038
3039
3040
3041
3042
3043
3044
3045
3046
3047
3048
3049
3050
3051
3052
3053
3054
3055
3056
305
```

```

658
659 MTKpylvaat rajattu = processing.run("native:clip", {'INPUT':MTKpylvaat vlayer yhd,
660 'OVERLAY':selectedLayer,
661 'OUTPUT': 'TEMPORARY_OUTPUT'})
662
663
664 MTKpylvaat_rajattu = processing.run("native:savefeatures", {'INPUT':
MTKpylvaat_rajattu['OUTPUT'],
665 'LAYER_NAME': 'Pylvaat',
666 'OUTPUT': 'TEMPORARY_OUTPUT'})
667
668 #Rajatut johdot projektiin
669 MTKpylvaat = QgsVectorLayer(MTKpylvaat_rajattu['OUTPUT'],'Pylvaat','ogr')
670
671
672 ##### Rakenteet #####
673
674 #Yhdistäminen
675
676 MTKrakenteet_yhdistetty = processing.run("native:mergevectorlayers",
677 {'LAYERS':MTKrakenteet_tiedostot,
678
679 'CRS':QgsCoordinateReferenceSystem('EPSG:3067'),
680 'OUTPUT': 'TEMPORARY_OUTPUT'})
681
682 MTKrakenteet_vlayer_yhd = MTKrakenteet_yhdistetty['OUTPUT']
683
684 #Rajaaminen
685
686 MTKrakenteet_rajattu = processing.run("native:clip", {'INPUT':MTKrakenteet_vlayer_yhd,
687 'OVERLAY':selectedLayer,
688 'OUTPUT': 'TEMPORARY_OUTPUT'})
689
690 MTKrakenteet_rajattu = processing.run("native:savefeatures", {'INPUT':
MTKrakenteet_rajattu['OUTPUT'],
691 'LAYER_NAME': 'Rakenteet',
692 'OUTPUT': 'TEMPORARY_OUTPUT'})
693
694 #Rajatut rakenteet projektiin
695 MTKrakenteet = QgsVectorLayer(MTKrakenteet_rajattu['OUTPUT'],'Rakenteet','ogr')
696
697
698 #Poistetaan ylimääräiset tasot
699
700 for lyr in MTK_karttalehdet:
701     rmvLyr(lyr)
702
703 #####
704 ### VAIHE 4: PISTEPILVIEN HAKU JA PROSESSOINTI
705
706 #Tehdään pistepilvien karttalehdille oma lista
707
708 pp_karttalehdet =[]
709
710 #Ratkaistaan pluginin mukana tulleen utm5.shp tiedoston osoite.
711 #Tiedosto sisältää karttalehtijaon, josta saadaan tarvittavat karttalehdet
712
713 ppkarttalehtijako=resolve('utm5.shp')
714
715 #Karttalehdetattribuutteihin
716 pcl = processing.run("native:joinattributesbylocation", {'INPUT':selectedLayer,
717 'JOIN':ppkarttalehtijako,
718 'PREDICATE':[1,2,4,5],
719 'JOIN_FIELDS':['LEHTITUNNU'],
720 'METHOD':0,'DISCARD_NONMATCHING':False,
721 'PREFIX':'',
722 'OUTPUT': 'TEMPORARY_OUTPUT'})
723
724 #Haetaan tarvittavat karttalehdet attribuuteista ja haetaan kapsin palvelimelta
725 pclvLayer=pcl['OUTPUT']
726
727 for feature in pclvLayer.getFeatures():
728     pp_lehti = feature["LEHTITUNNU"]
729     pp_karttalehdet.append(pp_lehti)
730
731 #tehdään eri listat raporttia ja käsittelyjä varten
732
733 pp_raportinOsoitteet=[]
734 pptiedostot=[]
735 ppKoneenOsoitteet=[]
736
737 #Testataan mistä kansioista pistepilvet löytyvät Kapsin palvelimelta
738

```

```

739
740 for lehti in pp karttalehdet:
741     pp karttalehtikansio = '/' + lehti[0:4]
742
743     #Kapsin palvelimella tiedostot jaetaan vuosittain kansioihin, käydään läpi vuodet
744     2006-2039
745
746     vuodet = []
747     for i in range(2006,2036):
748         vuodet.append(i)
749
750     for item in vuodet:
751         item_str=str(item)
752
753         try:
754             if urllib.request.urlopen
755                 ('http://kartat.kapsi.fi/files/laser/etrs-tm35fin-n2000/mara_2m/' + item_str +
756                 pp_karttalehtikansio + '/1/' + lehti + '.laz').code == 200:
757                 pp_oikea_osoite =
758                     ('http://kartat.kapsi.fi/files/laser/etrs-tm35fin-n2000/mara_2m/' + item_str
759                     + pp_karttalehtikansio + '/1/' + lehti + '.laz')
760             except:
761                 pass
762
763             #Kun saadaan oikea osoite, ladataan se
764
765             processing.run("native:filedownloader", {'URL':pp_oikea_osoite,
766                 'OUTPUT':ppoutputdir + '/' + lehti + '.laz' })
767
768             #Tämä menee JSON tiedostoon pistepilven käsittelyyn
769             pptiedosto=' "' + ppoutputdir + '/' + lehti + '.laz",\n'
770             pptiedostot.append(pptiedosto)
771
772             #Tämä kerätään väliaikaisten tiedostojen poistoa varten
773             ppKoneenOsoite= ppoutputdir + '/' + lehti + '.laz'
774             ppKoneenOsoitteet.append(ppKoneenOsoite)
775
776             #Tämä kerätään raporttia varten
777             pp_raportinOsoitteet.append(pp_oikea_osoite)
778
779
780 #Käsittely: Tee PDAL -pipeline merge
781
782 path1 = os.path.dirname(QgsApplication.prefixPath())
783 path2 = os.path.dirname(path1)
784 OsGeo4Wpath = path2 + '/OSGeo4W.bat'
785
786 file1 = open(ppoutputdir + '/pdalpipeline_merge.json','w')
787 file1.write('\n')
788 file1.writelines(pptiedostot)
789 file1.write(' {\n')
790 file1.write('     "type": "filters.merge"\n')
791 file1.write(' },\n')
792 file1.write(' "' + ppoutputdir + '/PP_yhdistetty.laz"\n')
793 file1.write('}')
794 file1.close()
795
796 #Suorita PDAL -pipeline:merge
797
798 my_call = [OsGeo4Wpath,                                #Inspired
799             'pdal',                                     #
800             'pipeline',                                 #
801             ppoutputdir+'pdalpipeline_merge.json',    #
802             '--verbose',                                #by
803             '4'                                         #
804         ]
805
806 subprocess.call(my_call)
807 #https://gis.stackexchange.com/questions/274828/use-osgeo4w-shell-command-from-python-2-7-scri
808 pt
809
810 time.sleep(5)
811
812 #####
813 #Leikkaus
814
815 #Muuttaa geometriat WKT-tyypiksi ja tekee listan json muotoilulla
816
817 selectedLayerOld = processing.run("native:reprojectlayer", {'INPUT': selectedLayer,
818     'TARGET CRS':
819     QgsCoordinateReferenceSystem('EPSG
820     :3067'),
821     'OUTPUT': 'TEMPORARY_OUTPUT'})
822
823 selectedLayerNew = selectedLayerOld['OUTPUT']
824
825 geometriat=[]
826 for feat in selectedLayerNew.getFeatures():
827     geometriat.append(feat.geometry().asWkt())
828
829 jsongeometriat = (json.dumps(geometriat))

```

```

820
821 #Tee JSON Pipeline: Crop
822
823 file1 = open(ppoutputdir + '/pdalpipeline_crop.json','w')
824 file1.write('{\n')
825 file1.write('    "' + ppoutputdir + '/PP_yhdistetty.laz",\n')
826 file1.write('    {\n')
827 file1.write('        "type":"filters.crop",\n')
828 file1.write('        "polygon":"' + jsongeometriat + '\n')
829 file1.write('    },\n')
830 file1.write('    {\n')
831 file1.write('        "type":"filters.outlier",\n')
832 file1.write('        "method":"radius",\n')
833 file1.write('        "radius":3.0,\n')
834 file1.write('        "min_k":4\n')
835 file1.write('    },\n')
836 file1.write('    {\n')
837 file1.write('        "type":"filters.range",\n')
838 file1.write('        "limits":"Classification![7:7]"\n')
839 file1.write('    },\n')
840 file1.write('    {\n')
841 file1.write('        "type":"writers.las",\n')
842 file1.write('        "filename":"' + ppoutputdir + '/PP_rajattu.laz"\n')
843 file1.write('    }\n')
844 file1.write('}')
845 file1.close()
846
847 #Suorita JSON Pipeline: Crop
848
849 my_call = [OsGeo4Wpath, #Inspired
850           'pdal', #
851           'pipeline', #
852           ppoutputdir+'pdalpipeline_crop.json', #
853           '--verbose', #by
854           '4' #
855           ] #
856           #
857
858 subprocess.call(my_call)
859 #https://gis.stackexchange.com/questions/274828/use-osgeo4w-shell-command-from-python-2-7-script
860
861 time.sleep(5)
862
863 #Tee JSON Pipeline: Pointcloud -> DSM
864
865 file1 = open(ppoutputdir + '/pdalpipeline_dsm.json','w')
866 file1.write('{\n')
867 file1.write('    "' + ppoutputdir + '/PP_rajattu.laz",\n')
868 file1.write('    {\n')
869 file1.write('        "filename":"' + ppoutputdir + '/PP_rajattu_DSM.tif",\n')
870 file1.write('        "gdaldriver":"GTiff",\n')
871 file1.write('        "output_type":"all",\n')
872 file1.write('        "resolution":"1.0",\n')
873 file1.write('        "type": "writers.gdal"\n')
874 file1.write('    }\n')
875 file1.write('}')
876 file1.close()
877
878 #Suorita JSON Pipeline: DSM
879
880 my_call = [OsGeo4Wpath, #Inspired
881           'pdal', #
882           'pipeline', #
883           ppoutputdir+'pdalpipeline_dsm.json', #
884           '--verbose', #by
885           '4' #
886           ] #
887           #
888
889 subprocess.call(my_call)
890 #https://gis.stackexchange.com/questions/274828/use-osgeo4w-shell-command-from-python-2-7-script
891
892 #Odota hetki ja tuo tehty DSM projektiin
893
894 time.sleep(5)
895
896 dsm = QgsRasterLayer(ppoutputdir + '/PP_rajattu_DSM.tif',outputdirname + ' DSM','gdal')
897
898 #Tee JSON Pipeline: Pistepilven värjäys ja puuston ja siltojen erilleen otto
899
900 file1 = open(ppoutputdir + '/pdalpipeline_colorize.json','w')
901 file1.write('{\n')
902 file1.write('    "pipeline": [\n')
903 file1.write('        {\n')
904 file1.write('            "filename":"' + ppoutputdir + '/PP_rajattu.laz",\n')
905 file1.write('            "type":"readers.las",\n')
906 file1.write('            "spatialreference":"EPSG:3067"\n')
907 file1.write('        },\n')
908 file1.write('        {\n')
909 file1.write('            "type": "filters.colorization",\n')

```



```

990                                     'RASTER BAND':1,
991                                     'COLUMN PREFIX':'zKat ',
992                                     'STATISTICS':[6],
993                                     'OUTPUT':'TEMPORARY_OUTPUT'})
994
995 #Tuodaan tehty taso Mtk3Dtemp muuttujaan
996
997 Mtk3Dtemp = Mtk3Dtemp['OUTPUT']
998
999 #Lisätään Mtk3Dtemp tasolle Extrusion kenttä
1000
1001 pr = Mtk3Dtemp.dataProvider()                                     #Inspired
1002 pr.addAttribute(QgsField("Extrusion", QVariant.Double,"double",11,3)) #by
1003 Mtk3Dtemp.updateFields()
1004 #https://anitagraser.com/pyqgis-101-introduction-to-qgis-python-programming-for-non-programmer
1005 #s/pyqgis-101-using-expressions-to-compute-new-field-values/
1006
1007 #Lasketaan extrusion kentälle uudet arvot käyttämällä QGIS-Expressionia, jos dsm laskennan
1008 #statistiikka muuttuu, muuta zKat_ etuliitteen jälkeinen statistiikan nimi
1009
1010 expression1 = QgsExpression('if("zKat_max" - "zMaa_min" <0,0,round("zKat_max" -
1011 "zMaa_min",3))') #Inspired
1012 context =
1013 QgsExpressionContext()                                           #
1014
1015 context.appendScopes(QgsExpressionContextUtils.globalProjectLayerScopes(Mtk3Dtemp))
1016 #
1017 #by
1018
1019 with
1020 edit(Mtk3Dtemp):                                               #
1021     for f in
1022         Mtk3Dtemp.getFeatures():                               #
1023
1024         context.setFeature(f)
1025         #
1026         f['Extrusion'] =
1027         expression1.evaluate(context)                           #
1028
1029         Mtk3Dtemp.updateFeature(f)
1030
1031         #https://anitagraser.com/pyqgis-101-introduction-to-qgis-python-programming-for-non-pr
1032         #ogrammers/pyqgis-101-using-expressions-to-compute-new-field-values/
1033
1034 #Join Attributes alkuperäiseen MTK -geometriaan, jossa maan Z-koordinaatit
1035
1036 MTK3D = processing.run("native:joinattributetable", {'INPUT':setZvalue['OUTPUT'],
1037                                     'FIELD':'KOHDEOSO',
1038                                     'INPUT_2':Mtk3Dtemp,
1039                                     'FIELD_2':'KOHDEOSO',
1040                                     'FIELDS_TO_COPY':['Extrusion'],
1041                                     'METHOD':1,
1042                                     'DISCARD_NONMATCHING':False,
1043                                     'PREFIX':'',
1044                                     'OUTPUT':'TEMPORARY_OUTPUT'})
1045
1046 MTK3D = MTK3D['OUTPUT']
1047
1048 #Tallennetaan tason nimi geopaketin tallennusta varten
1049
1050 MTK3D = processing.run("native:savefeatures", {'INPUT': MTK3D,
1051                                     'LAYER_NAME': 'Rakennukset',
1052                                     'OUTPUT': 'TEMPORARY_OUTPUT'})
1053
1054 #3D rakennukset projektiin
1055 MTK3D = QgsVectorLayer(MTK3D['OUTPUT'],'Rakennukset','ogr')
1056
1057 #Tehdään Geopackage
1058
1059 outputgeopackage = outputdir + '/Maastotietokanta.gpkg'
1060
1061 processing.run("native:package",{'LAYERS':[MTK3D,MTKjohdot,MTKpylvaat,MTKkrakenteet],
1062                                     'OUTPUT':outputgeopackage,
1063                                     'OVERWRITE':True,
1064                                     'SAVE_STYLES':False})
1065
1066 #Johdot, Pylvää ja rakennukset geopaketista kartalle
1067
1068 johdot3d = QgsVectorLayer(outputgeopackage + '|layername=Johdot',outputdirname + '
1069 Johdot','ogr')
1070 if johdot3d.isValid():
1071     QgsProject.instance().addMapLayer(johdot3d)
1072
1073 #Ladataan tyylitiedosto
1074 johdot3d.loadNamedStyle(resolve('johdot_tyyli.qml'))
1075 johdot3d.triggerRepaint()
1076
1077 pylvaat3d = QgsVectorLayer(outputgeopackage + '|layername=Pylvaat',outputdirname + '
1078 Pylvaat','ogr')

```

```

1061     if pylvaat3d.isValid():
1062         QgsProject.instance().addMapLayer(pylvaat3d)
1063
1064         #Ladataan tyylitiedosto
1065         pylvaat3d.loadNamedStyle(resolve('pylvaat_tyyli.qml'))
1066         pylvaat3d.triggerRepaint()
1067
1068 MTK3D = QgsVectorLayer(outputgeopackage + '|layername=Rakennukset',outputdirname + '
Rakennukset','ogr')
1069     if MTK3D.isValid():
1070         QgsProject.instance().addMapLayer(MTK3D)
1071
1072         #Ladataan tyylitiedosto
1073         MTK3D.loadNamedStyle(resolve('tyyli.qml'))
1074         MTK3D.triggerRepaint()
1075
1076 rakenteet3d = QgsVectorLayer(outputgeopackage + '|layername=Rakenteet',outputdirname + '
Rakenteet','ogr')
1077     if rakenteet3d.isValid():
1078         QgsProject.instance().addMapLayer(rakenteet3d)
1079
1080         #Ladataan tyylitiedosto
1081         rakenteet3d.loadNamedStyle(resolve('rakenteet_tyyli.qml'))
1082         rakenteet3d.triggerRepaint()
1083
1084 #####
1085 ### VAIHE 6: Ylimääräisten tiedostojen poisto
1086
1087 file1 = pputputdir + '/pdalpipeline_colorize.json'
1088 file2 = pputputdir + '/pdalpipeline_crop.json'
1089 file3 = pputputdir + '/pdalpipeline_dsm.json'
1090 file4 = pputputdir + '/pdalpipeline_merge.json'
1091 file5 = pputputdir + '/PP_rajattu.laz'
1092 file6 = pputputdir + '/PP_yhdistetty.laz'
1093 file7 = outputdir + '/' + outputdirname + ' Ortoilmakuva.tif'
1094
1095 poistettavat=[file1,file2,file3,file4,file5,file6,file7]
1096
1097 for item in poistettavat:
1098     if os.path.isfile(item):
1099         try:
1100             os.remove(item)
1101         except:
1102             pass
1103
1104 #Poistetaan ylimääräiset pistepilvikarttalehdet
1105
1106 for item in ppKoneenOsoitteet:
1107     if os.path.isfile(item):
1108         try:
1109             os.remove(item)
1110         except:
1111             pass
1112
1113 #####
1114 ### VAIHE 6: Raportin kirjoitus
1115
1116 file1 = open(outputdir + '/Raportti.txt','w', encoding='iso-8859-1')
1117
1118 file1.write('##### - KAUPUNKIMALLINTAJA - ##### \n \n')
1119 file1.write('##### \n \n')
1120 file1.write('Kaupunkimallintaja muodosti tiedostot: \n \n')
1121
1122 file1.write('Korkeusmalli: \n \n')
1123 if os.path.isfile(outputdir + '/Korkeusmalli.gpkg'):
1124     file1.write(outputdir + '/Korkeusmalli.gpkg \n \n')
1125
1126 file1.write('Ortoilmakuva: \n \n')
1127 if os.path.isfile(outputdir + '/Ortoilmakuva.gpkg'):
1128     file1.write(outputdir + '/Ortoilmakuva.gpkg \n \n')
1129
1130 file1.write('Maastotietokannan aineistot: \n \n')
1131 if os.path.isfile(outputdir + '/Maastotietokanta.gpkg'):
1132     file1.write(outputdir + '/Maastotietokanta.gpkg \n \n')
1133
1134 file1.write('LAZ - pistepilvet: \n \n')
1135 if os.path.isfile(ppoutputdir + '/PP_varjatty.laz'):
1136     file1.write(ppoutputdir + '/PP_varjatty.laz \n \n')
1137
1138 if os.path.isfile(ppoutputdir + '/PP_varjatty_puusto.laz'):
1139     file1.write(ppoutputdir + '/PP_varjatty_puusto.laz \n \n')
1140
1141 file1.write('DSM eli Pintamalli: \n \n')
1142
1143 if os.path.isfile(ppoutputdir + '/PP_rajattu_DSM.tif'):
1144     file1.write(ppoutputdir + '/PP_rajattu_DSM.tif \n \n')
1145
1146 file1.write('Entwine - pistepilvet: \n \n')
1147 if os.path.isdir(ppoutputdir + '/ept_PP_varjatty_puusto'):
1148     file1.write(ppoutputdir + '/ept_PP_varjatty_puusto \n \n')

```

```
1149
1150 #if os.path.isdir(ppoutputdir + '/ept PP varjattyy'):
1151 file1.write(ppoutputdir + '/ept PP varjattyy \n \n')
1152
1153 file1.write('\n')
1154 file1.write('##### \n \n')
1155 file1.write('Käytettiin Kapsin palvelimelta haettuja tiedostoja:\n')
1156 file1.write('\n')
1157 file1.write('Korkeusmallit:\n')
1158 file1.write('\n')
1159
1160 for item in raportinOsoitteet:
1161     file1.write(item + '\n')
1162
1163 file1.write('\n')
1164 file1.write('Maastotietokanta:\n')
1165 file1.write('\n')
1166
1167 for item in MTK_raportinOsoitteet:
1168     file1.write(item + '\n')
1169
1170 file1.write('\n')
1171 file1.write('Ortoilmakuvat:\n')
1172 file1.write('\n')
1173
1174 for item in Orto_raportinOsoitteet:
1175     file1.write(item + '\n')
1176
1177 file1.write('\n')
1178 file1.write('Pistepilvet:\n')
1179 file1.write('\n')
1180
1181 for item in pp_raportinOsoitteet:
1182     file1.write(item + '\n')
1183
1184 file1.write('\n')
1185
1186 file1.close()
1187
1188 #Palautetaan filtterit. Jokaisesta monikulmiosta tehdään oma mallinsa omaan kansioon
1189 #filtteröimällä valitun tason attribuutit kukin kerrallaan.
1190 #Monikulmioiden läpikäynnin jälkeen filtterit palautetaan niin, että rajaustiedostossa näkyy
1191 #kaikki monikulmiot.
1192
1193 selectedLayer.setSubsetString('')
1194
1195 iface.mapCanvas().refresh()
1196
1197 #Onnistumisen ilmoitus
1198 self.iface.messageBar().pushMessage(
1199     "Haku kapsin palvelimelta onnistui! ",
1200     level=Qgis.Success, duration=20)
1201
1202
```

##### - KAUPUNKIMALLINTAJA - #####

#####

Kaupunkimallintaja muodosti tiedostot:

Korkeusmalli:

E:/Kaupunkimallit/Iisalmi/1/Korkeusmalli.gpkg

Ortoilmakuva:

E:/Kaupunkimallit/Iisalmi/1/Ortoilmakuva.gpkg

Maastotietokannan aineistot:

LAZ - pistepilvet:

E:/Kaupunkimallit/Iisalmi/1/Pistepilvi/PP\_varjatty.laz

E:/Kaupunkimallit/Iisalmi/1/Pistepilvi/PP\_varjatty\_puusto.laz

DSM eli Pintamalli:

E:/Kaupunkimallit/Iisalmi/1/Pistepilvi/PP\_rajattu\_DSM.tif

Entwine - pistepilvet:

E:/Kaupunkimallit/Iisalmi/1/Pistepilvi/ept\_PP\_varjatty\_puusto

E:/Kaupunkimallit/Iisalmi/1/Pistepilvi/ept\_PP\_varjatty

#####

Käytettiin Kapsin palvelimelta haettuja tiedostoja:

Korkeusmallit:

[http://kartat.kapsi.fi/files/korkeusmalli/hila\\_2m/etrs-tm35fin-n2000/P5/P52/P5222D.tif](http://kartat.kapsi.fi/files/korkeusmalli/hila_2m/etrs-tm35fin-n2000/P5/P52/P5222D.tif)

Maastotietokanta:

<http://kartat.kapsi.fi/files/maastotietokanta/kaikki/etrs89/shp/P5/P52/P5222L.shp.zip>

Ortoilmakuvat:

[http://kartat.kapsi.fi/files/orto/etrs-tm35fin/smk\\_v\\_15000\\_50/2020/P52/02m/1/P5222D.jp2](http://kartat.kapsi.fi/files/orto/etrs-tm35fin/smk_v_15000_50/2020/P52/02m/1/P5222D.jp2)

Pistepilvet:

[http://kartat.kapsi.fi/files/laser/etrs-tm35fin-n2000/mara\\_2m/2012/P522/1/P5222D.2.laz](http://kartat.kapsi.fi/files/laser/etrs-tm35fin-n2000/mara_2m/2012/P522/1/P5222D.2.laz)

[http://kartat.kapsi.fi/files/laser/etrs-tm35fin-n2000/mara\\_2m/2012/P522/1/P5222D4.laz](http://kartat.kapsi.fi/files/laser/etrs-tm35fin-n2000/mara_2m/2012/P522/1/P5222D4.laz)

[http://kartat.kapsi.fi/files/laser/etrs-tm35fin-n2000/mara\\_2m/2012/P522/1/P5222D1.laz](http://kartat.kapsi.fi/files/laser/etrs-tm35fin-n2000/mara_2m/2012/P522/1/P5222D1.laz)

[http://kartat.kapsi.fi/files/laser/etrs-tm35fin-n2000/mara\\_2m/2012/P522/1/P5222D3.laz](http://kartat.kapsi.fi/files/laser/etrs-tm35fin-n2000/mara_2m/2012/P522/1/P5222D3.laz)